

# MIDAS: Minimizing Write Amplification in Log-Structured Systems through Adaptive Group Number and Size Configuration

Seonggyun Oh, Jeeyun Kim, and Soyoung Han, DGIST; Jaeho Kim, Gyeongsang National University; Sungjin Lee, DGIST; Sam H. Noh, Virginia Tech

2024. 07. 24

Presentation by Suji Park, Seonju Koo

[sujipark@dankook.ac.kr](mailto:sujipark@dankook.ac.kr)

[pigeon99@dankook.ac.kr](mailto:pigeon99@dankook.ac.kr)

# Contents

1. Background
2. Motivation
3. Design
4. Implement
5. Experiment

# 1. Background

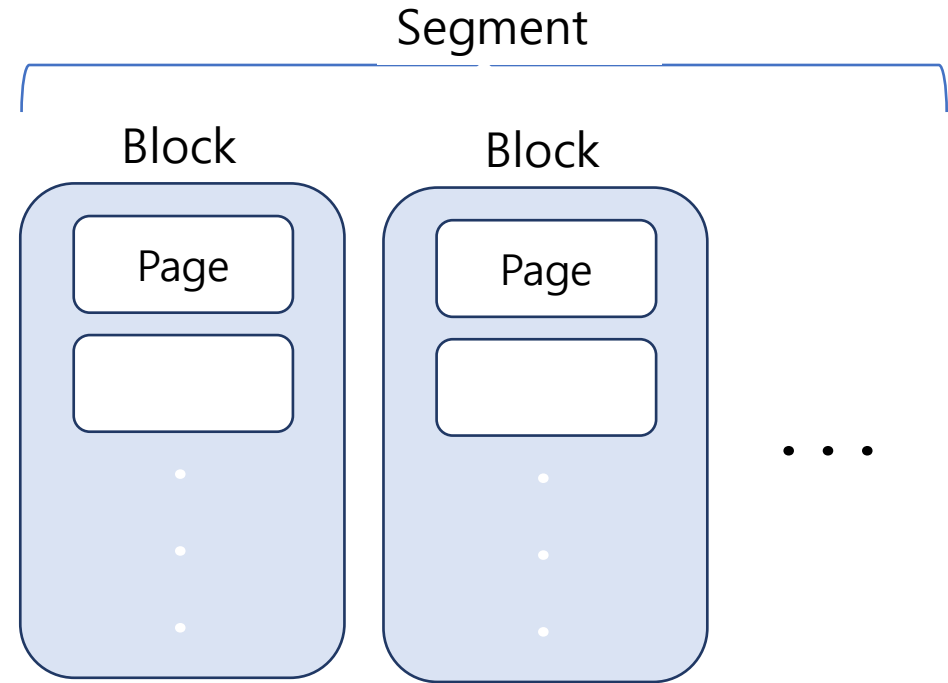
# 1.1 SSD

## Solid State Drive (SSD)

- ~~"Erase before write"~~

Log-structured System

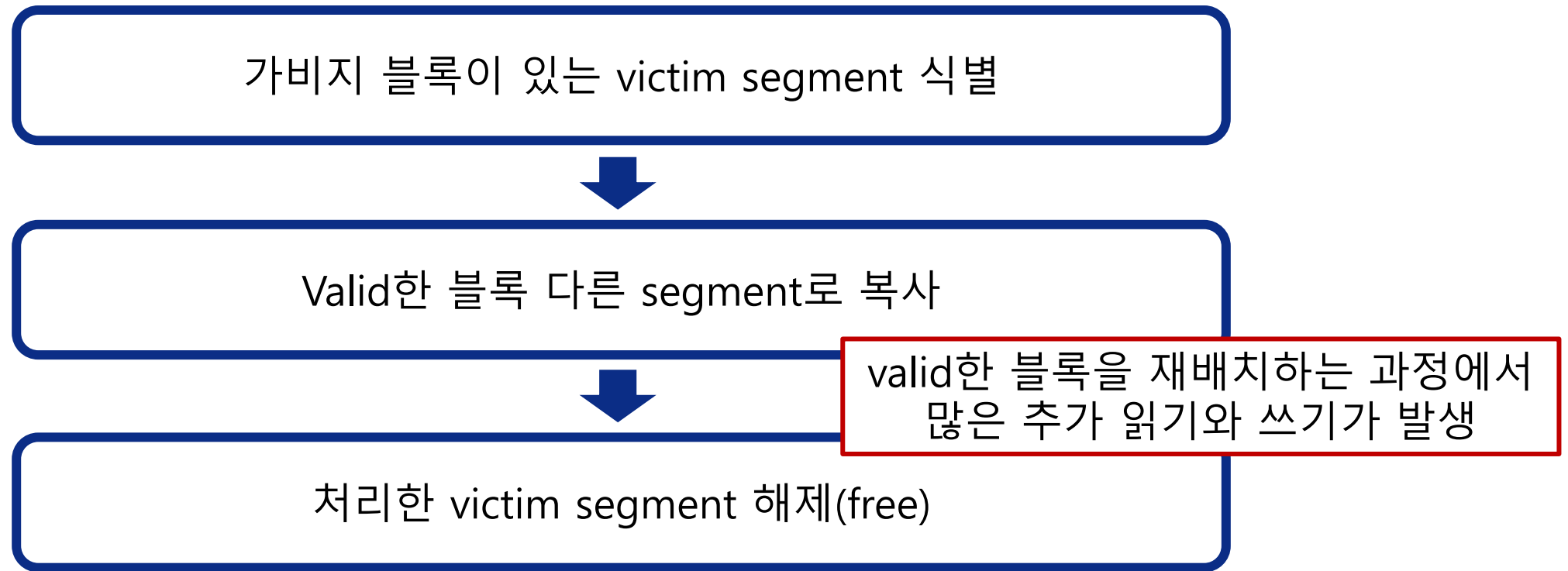
: Erase 작업 감소 -> 수명 연장



- Page : Read/Write 단위 (4KB)
- Block : Erase 단위 (MB)

# 1.2 Garbage Collection

## Log-structured system의 Garbage Collection (GC)



# 1.3 WAF

- $WAF(\text{쓰기 증폭 인자}) = \text{실제 storage에 쓴 block 수} / \text{사용자가 쓴 block 수}$
- 기존 연구 : victim selection과 data replacement 활용
  - 한계
    1. Hot, cold 구분
      - lifespan 예측 어려움
    2. 저장공간의 비효율적인 분할
      - 그룹 수 & 크기 지정



# 1.4 Victim Selection Policies

- Goal : GC동안 live 블록 복사수를 최소화

## 1. FIFO

- Oldest 세그먼트 선택

## 2. Greedy

- Lowest utilization(u)의 세그먼트 선택

## 3. Cost-Benefit (CB)

- utilization & age 이용
- 각 세그먼트 점수 계산
- WAF, GC cost 감소
- 구현 복잡

- **u** : valid 블록 복사 수
- **age** : 세그먼트 생성으로부터 얼마나 오래 살아있는지

$$\text{점수} = \frac{u}{\text{age} \times (1-u)}$$

# 1.5 Data Replacement Policies

<b>CAT</b>	<ul style="list-style-type: none"><li>-업데이트 빈도에 따라 데이터 블록을 hot과 cold로 분류</li><li>-live block을 여러 그룹에 걸쳐 이동하여 그룹 크기를 <b>동적</b>으로 변경</li></ul>
<b>AutoStream</b>	<ul style="list-style-type: none"><li>-업데이트 빈도에 따라 분류 -&gt; 결정된 group id가 포함된 데이터 블록을 SSD로 보냄</li></ul>
<b>MiDA</b>	<ul style="list-style-type: none"><li>-<b>segment group chain</b>으로 그룹끼리 연결됨</li><li>-GC의 희생자로 선택될 때까지 valid하면 <b>나이가 +1</b>인 다음그룹으로 이동하는 방식</li></ul>
<b>SepBIT</b>	<ul style="list-style-type: none"><li>-최신 업데이트 간격 &amp; 나이 고려</li><li>-임계값 이용 -&gt; 데이터 블록 할당되는 그룹 결정</li><li>-라이브 블록 재배치 할 때 블록 수명을 측정하여 적절한 GC 그룹으로 보냄</li></ul>



## 2. Motivation

# 2.1 Experimental Setup

YCSB

- Yahoo! Cloud Serving Benchmark

- Flash-based SSD
- YCSB-A runs on MySQL (44억 = 16.4TiB)
- Varmail of Filebench benchmark (40억 = 14.9TiB)
- 트레이스 기반 시뮬레이터
  - 64MiB 의 세그먼트가 있는 128GiB 스토리지 공간 모델링
- Victim Selection : CB

## 2.2 Analysis based on ORA

- Invalidation time : 블록이 기록된 시점과 무효화되는 시점 사이 기록된 사용자 작성 블록 수
- Invalidation time이 짧은 블록은 더 hot함

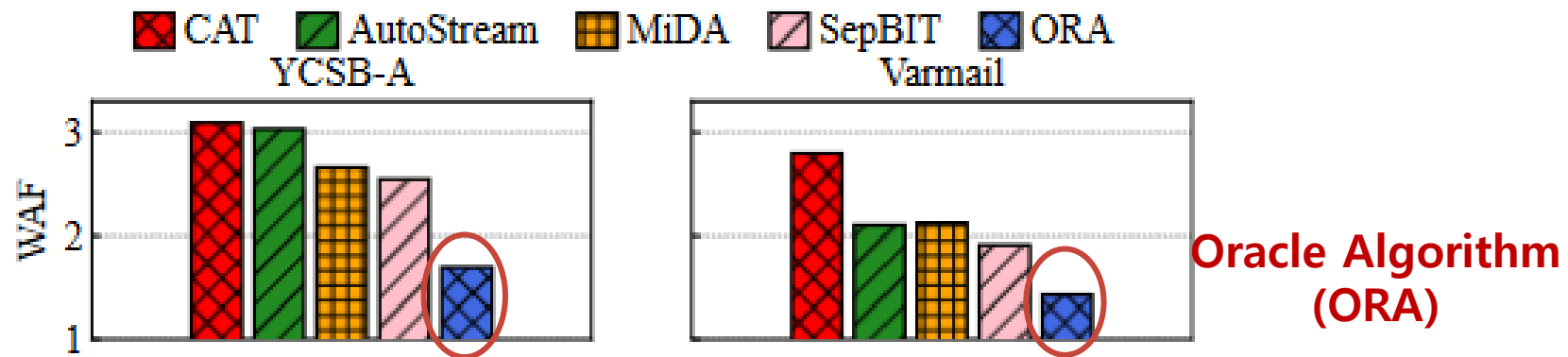


Fig. 1. WAF of ORA and existing SOTA techniques

# 2.2 Analysis based on ORA

- (a) 최신 업데이트 간격 (SepBIT)
- (b) 업데이트 빈도 (CAT, AutoStream)
- (c) age 기반 (SepBIT, MiDA)

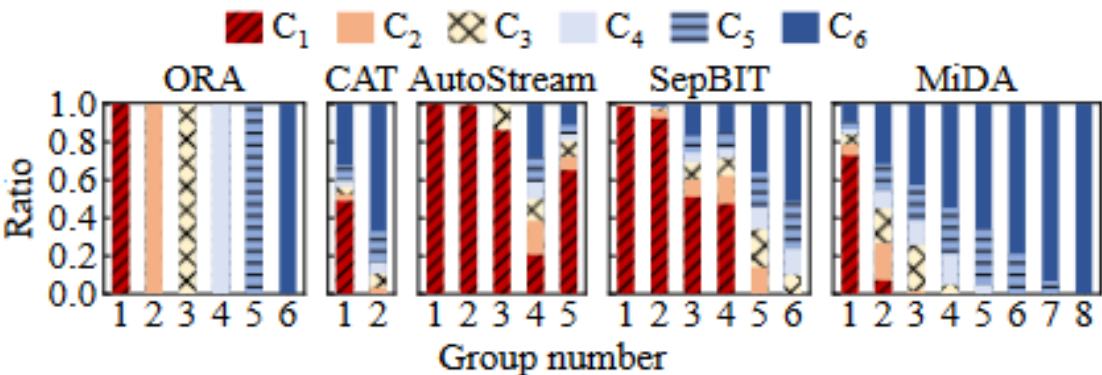


Fig. 4. Distribution of blocks over groups for YCSB-A

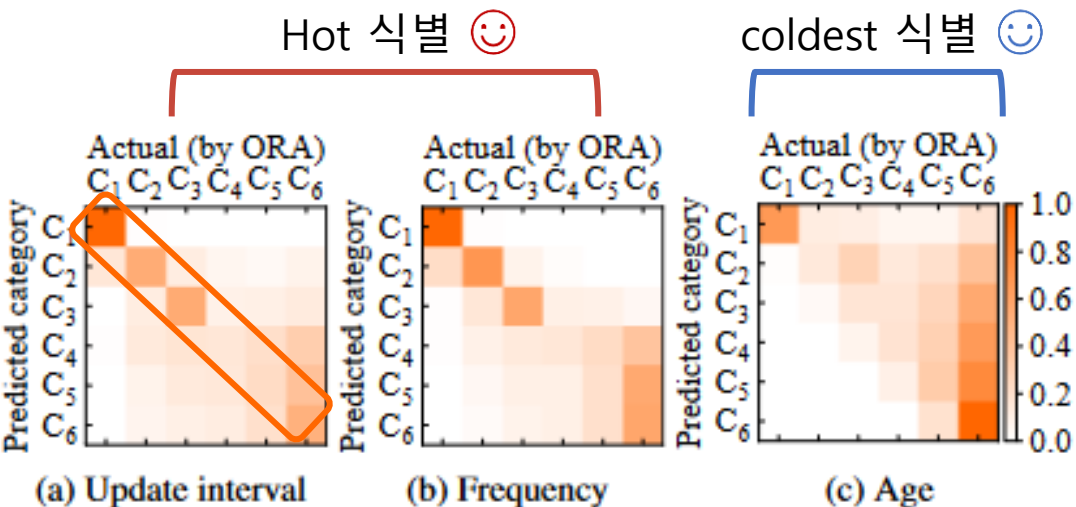


Fig. 2. Accuracy of block invalidation times for YCSB-A according to prediction techniques

Table 1: Ranges of invalidation times for C<sub>1</sub>–C<sub>6</sub> in ORA

	C <sub>1</sub>	C <sub>2</sub>	C <sub>3</sub>	C <sub>4</sub>	C <sub>5</sub>	C <sub>6</sub>
Range	<250K	250K–5M	5M–14M	14M–28M	28M–62M	>62M

# 2.2 Analysis based on ORA

- Hotness를 정확하게 평가하여 적절한 그룹 사이즈를 선택하여 WAF의 최소를 선택

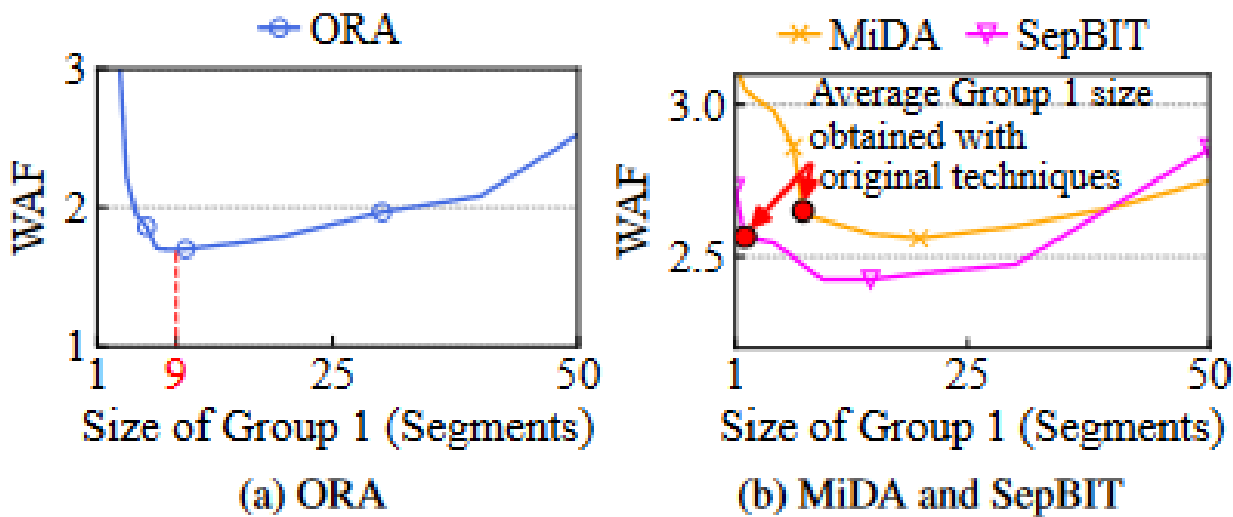


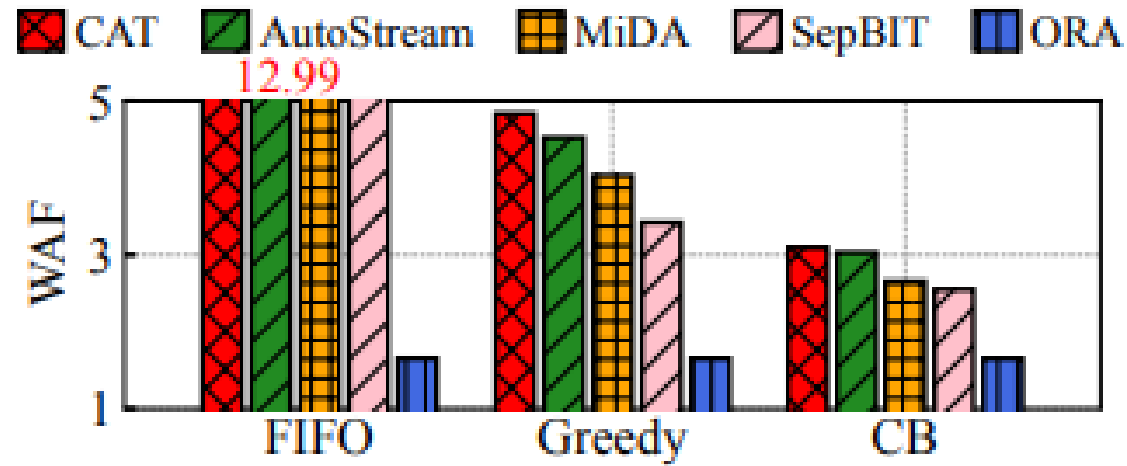
Fig. 3. Impact of group size on WAF for YCSB-A

Table 2: Size of each group per technique for YCBS-A (unit: segment): fixed values for ORA, while the rest are averages through workload processing

Group number	1	2	3	4	5	6	7	8
ORA	9	17	35	45	133	1,809	-	-
CAT	184	1,864	-	-	-	-	-	-
AutoStream	2	3	2	1,336	705	-	-	-
SepBIT	2	1	17	2	85	1,941	-	-
MiDA	7	79	95	126	128	117	98	1,398

## 2.3 Impact of victim selection

- ORA는 모든 정책에서 비슷한 WAF를 보여줌
  - 적절한 데이터 배치 정책을 사용하면 FIFO, Greedy, CB 모두 비슷함



## 2.4 Summary

- 현재 SOTA 기술은 데이터의 **hotness** 예측에 부정확
  - 그러나 최신 업데이트 **간격** 및 업데이트 **빈도** 기반 접근 방식은 **hot 데이터**를 비교적 잘 예측함, **연령** 기반 예측 접근 방식은 **cold 데이터**를 비교적 잘 예측 -> 모든 methods를 적절히 이용하여 예측 정확도를 높여야 함
- 세그먼트 그룹 수와 크기는 GC 효율에서 중요한 영향 미침
  - **WAF**를 최소화하는 그룹 수와 크기 값을 적절히 찾아야 함
- FIFO는 그룹 크기가 적절하게 설정된 경우 정교한 정책과 마찬가지로 효율적
  - **적절한 데이터 배치 프레임워크**를 사용하면 **FIFO**가 victim selection 정책으로 충분

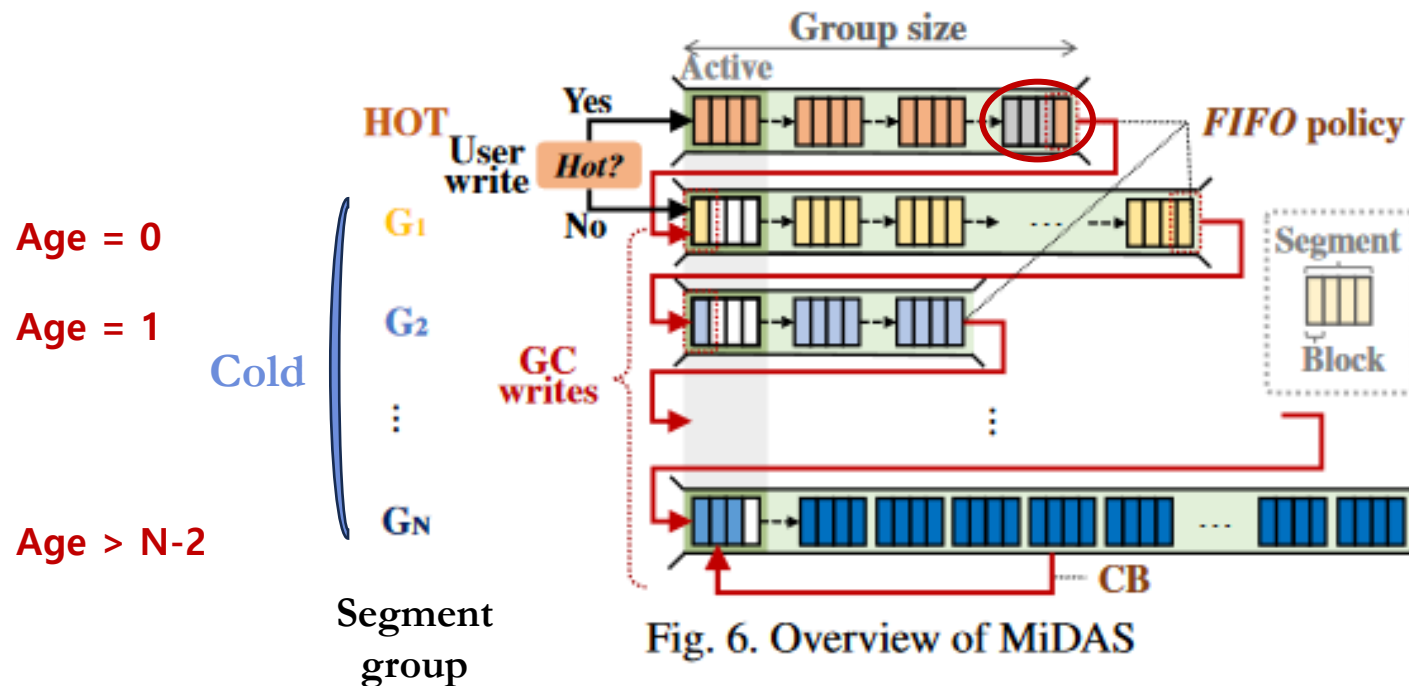
# 3. Design



# 3.1 Overview of MiDAS

Age : 한 그룹에서 다른 그룹으로의 이동 횟수

- MiDAS: 주어진 워크로드에 따라 WAF를 최소화하기 위해 segment 그룹 수 와 크기를 자동으로 결정하는 기술
- SepBIT의 G1~3이 공간이 작아 발생했던 overflow 방지 위해 MiDAS는 HOT을 동적으로 조정



# 3.1 Overview of MiDAS

## Update Interval Distribution(UID)

한 그룹 안에서 몇개의 block이 valid하여 다음 그룹으로 이동되는지를 알려줌

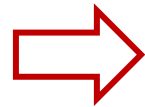
+

## Markov-Chain-Based-Analytical-Model(MCAM)

주어진 특정 그룹 구조에 따라 정확한 WAF 값 예측

전체 WAF 최소화 하는 그룹 수와 크기의 가장 효과적인 조합 결정

seg그룹이 제거 전 block이 무효화 되도록 충분히 큰 공간 가짐



FIFO 사용

## 3.2 Hot Block Separation

- CAT & AutoStream
  - update 빈도(횟수) 기반으로 hot-cold 경계 정의
- SepBIT
  - 내부 큐에 user 작성 블록 번호 넣고, 다시 참조된 블록은 HOT group으로 전송
  - (HOT group)평균 체류 시간에 비례하여 큐의 길이 설정
  - Cons
    - ① 분류 잘되면 : CB 알고리즘으로 빠르게 제거 -> 평균 체류시간 감소 -> 큐 길이 짧아짐
    - ② cold가 섞이면 : cold block이 평균 체류시간 증가시킴 -> 큐 길이 증가 -> HOT group에 더 많은 cold 생김

# 3.2 Hot Block Separation

## MiDAS

- 1. Tight admission control
  - SepBIT에서의 평균 체류 시간을 참고하여 임계 시간을 설정하고, 이 시간을 기준으로 **임계시간 내에 3번 이상 update 발생시** HOT group으로 이동
- 2. HOT group 크기 동적 조절
  - UID와 MCAM 이용하여 예상되는 **WAF 예측** 가능
  - 전체 **WAF 최소화 되도록** HOT의 크기를 나머지 그룹과 함께 결정

# 3.3 Prediction of WAF using MCAM

- 주어진 그룹 구성, 상태 사이의 전이 확률등으로 WAF 값 예측
- 각 그룹의 블록 수가 변하지 않을 때까지 전이된 결과,  $S_n$ 에서의 값을 이용함
- $WAF = (User\text{-}write + GC\text{ write로 쓴 블록 수}) / (User\text{-}write로 쓴 블록 수)$

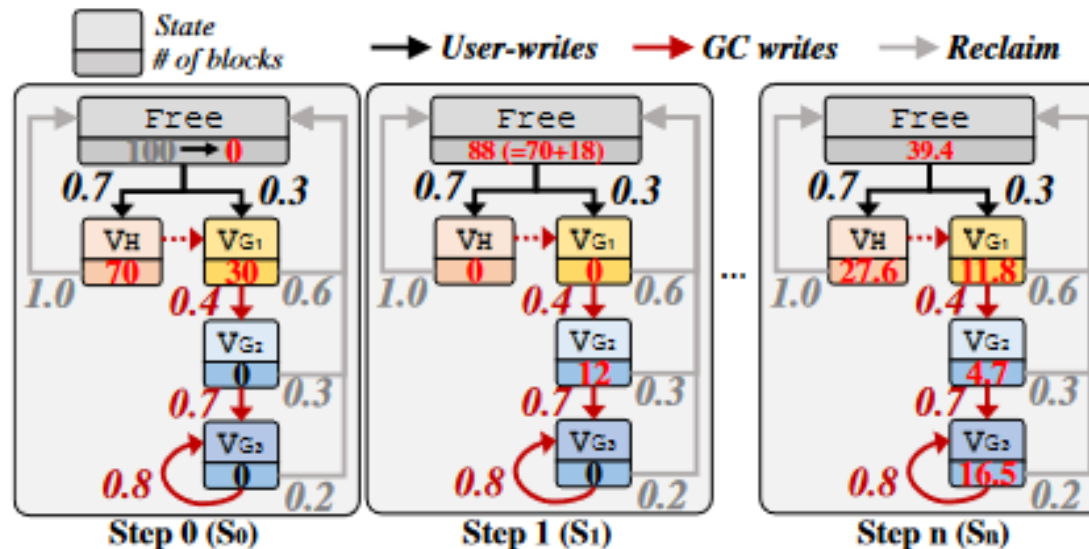


Fig. 7. Diagram of MCAM and WAF prediction process using MCAM as states transition

MCAM으로 WAF 예측  
 : 그룹 간 전이 확률 필요  
 -> UID 사용

# 3.4 Estimating Transition Probabilities

- UID: 사용자가 작성한 블록의 업데이트 간격에 대한 PMF(확률질량함수)
- UID를 사용하여 그룹 전이확률 추정
- 특정 간격 안의  $P(x)$  값을 모두 더하면 특정 그룹에서 invalid되는 블록 확률을 구할 수 있음
- 전이 확률 =  $G_{N+1}$ 의 invalid 확률 / ( $G_N$ 의 invalid 확률 +  $G_{N+1}$ 의 invalid 확률)

$$T_{V_{G_i} \rightarrow V_{G_{i+1}}} = \frac{\sum_{j=W+W_{G_i}}^{\max} p_j}{\sum_{j=W}^{\max} p_j},$$

where  $W = \begin{cases} \sum_{k=1}^{i-1} W_{G_k} & \text{if } i > 1 \\ 0 & \text{otherwise.} \end{cases}$

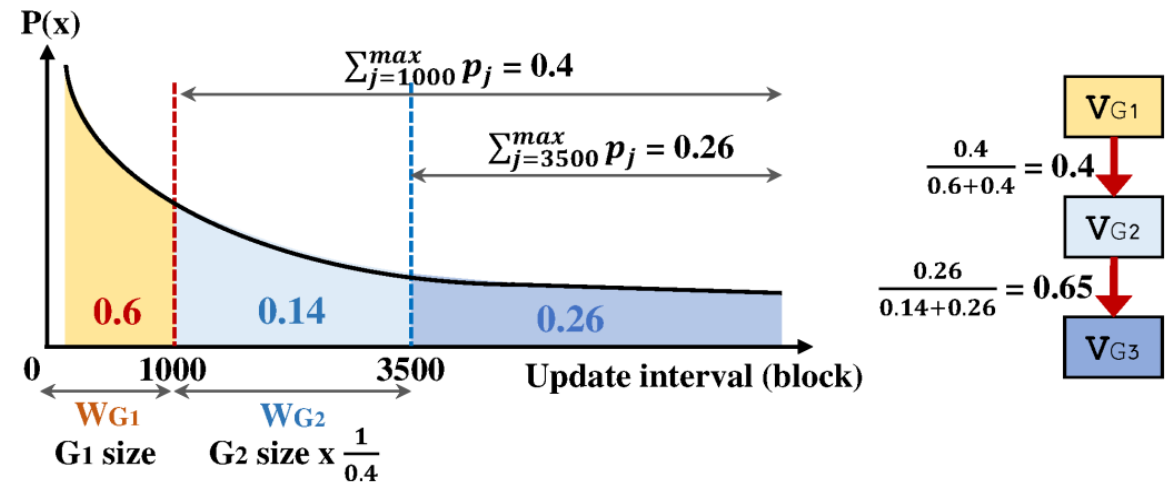


Fig. 8. Estimating transition probabilities using UID

# 3.4 Estimating Transition Probabilities

- HOT을 고려한 전이 확률 계산
- 임계시간보다 짧은 업데이트 간격 부분을 HOT UID로 분리
- 3번 업데이트를 고려하지 않아도 5% 이내 오차 -> 횟수를 고려하지 않고 계산한 근삿값 사용

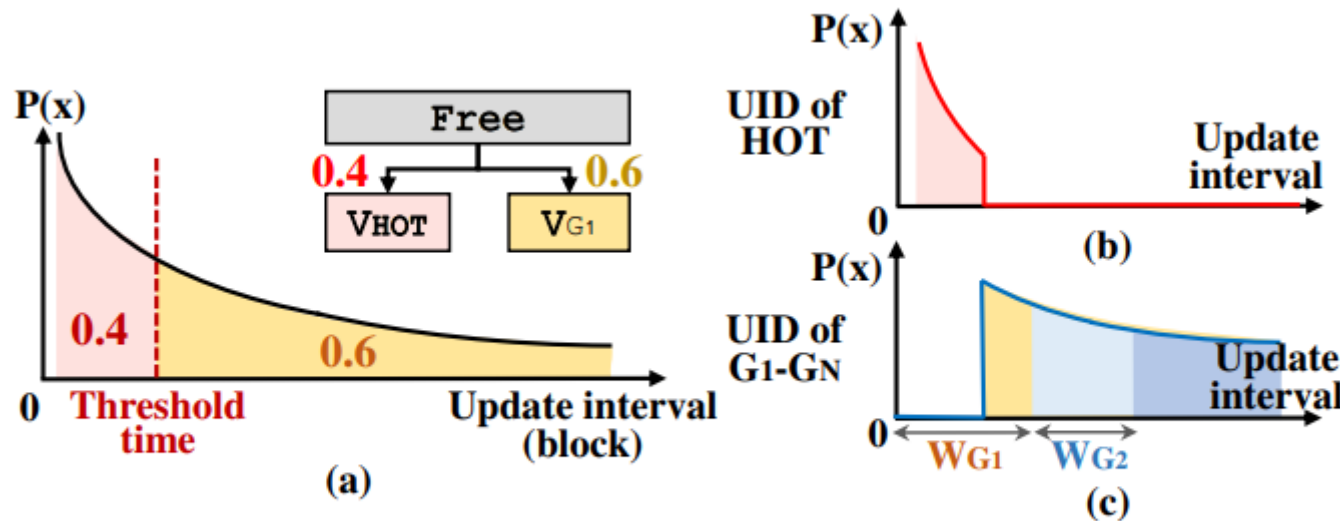


Fig. 9. Estimating transition probabilities, including *HOT*

$G_N$  전이 확률

: 블록 age 다양성으로 인해  
Desnoyers 모델로 계산함

# 3.5 Configuring group with MCAM and UID

- 그룹 구성 선택(GCS) 알고리즘 사용
  - 1) 그룹 수, 크기 결정
  - 2) 그룹 크기 세밀 조정
- 5회 연속 분할에서 WAF 감소가 0.5%를 넘지 않을 때까지

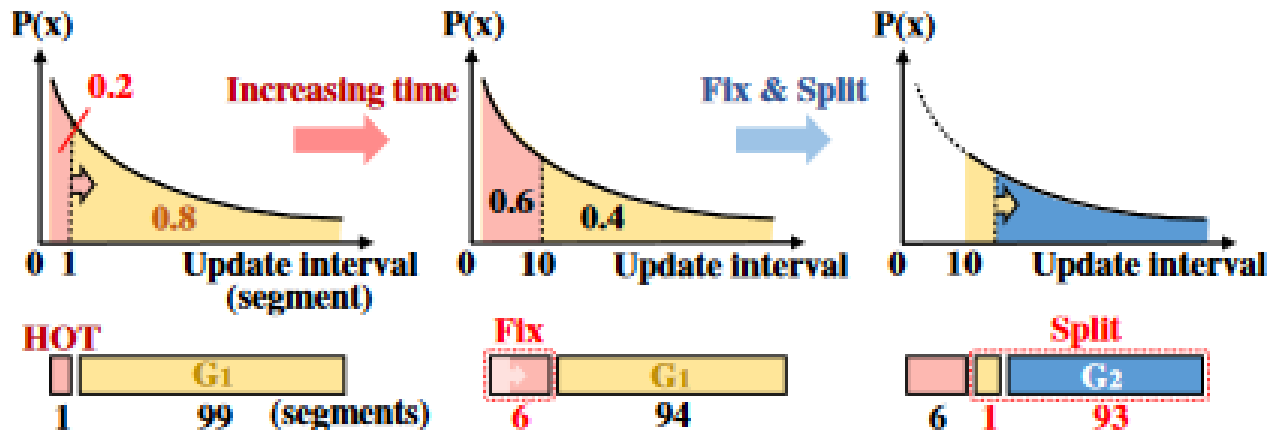


Fig. 10. Finding best group configuration with GCS



# 3.5 Configuring group with MCAM and UID

이전 그룹을 우선시하여 크기를 조정하면 마지막 그룹  $G_N$ 에서 높은 WAF 발생

해결

1.  $HOT \sim G_{N-1}$ 에서 각각  $G_N$ 에 세그먼트 하나씩을 재할당하며 WAF 측정
2. WAF가 이전보다 크면 이동한 세그먼트는 제자리로 돌아감
3. WAF 감소 없을 때까지 반복

# 3.5 Configuring group with MCAM and UID

- 워크로드 변화에 따라 UID도 계속 변화
- WAF 악화를 피하기위해 MiDAS는 UID를 업데이트
- 동일한 길이의 epoch로 시간을 나누고, 해당 간격마다 UID 측정
- 이전 UID와 비교하여 차이가 5%를 초과하면 UID를 교체
- 새로운 UID 기반으로 그룹 재구성

# 3.5 Configuring group with MCAM and UID

불규칙한 I/O 패턴 처리

- 전이 확률의 예측 값과 실제 값을 비교하여 오차 계산
- 높은 오차율(10%초과)이 발견된 그룹부터 그 이후의 그룹을 하나로 병합
- 새 UID가 생성되기 전까지 MiDA 정책 사용

# 4. Implement

# 4. Implement

- 메모리 오버헤드 최적화

## MIDAS 메인 구조

- FIFO 큐로 구성된 Cold 그룹이 Linked-List로 관리됨
- 세그먼트 이동 시 데이터가 직접 이동하지 않고 포인터 위치만 바뀌어 줌

## MCAM

- 전이 확률, 블록 수 같은 몇 가지 매개변수만 유지하면 됨

## HOT, UID

- 다양한 데이터 구조를 유지해야 함 → 최적화 필요

} 적은 메모리 소비

# 4. Implement

- 메모리 오버헤드 최적화

<b>HOT Filter</b>	<ul style="list-style-type: none"><li>• 데이터 블록의 HOT 승격여부 관리하기 위한 필터</li><li>• 블록 당 2비트 크기</li><li>• (1TiB 당 60MiB 정도 메모리 차지)</li></ul>
-------------------	--

- UID 추정에 쓰임

Time Stamp Table	Interval Count Table
모든 블록의 갱신 간격 저장	특정 갱신 간격의 블록 수 저장 (단위: 블록)

# 4. Implement

- 메모리 오버헤드 최적화

<b>HOT Filter</b>	<ul style="list-style-type: none"><li>• 데이터 블록의 HOT 승격여부 관리하기 위한 필터</li><li>• 블록 당 2비트 크기</li><li>• (1TiB 당 60MiB 정도 메모리 차지)</li></ul>
-------------------	--

- UID 추정에 쓰임

<b>Time Stamp Table</b>	<b>Interval Count Table</b>
블록 100개 중에 1개 정보만 기록하는 방식으로 샘플링하여 최적화	갱신 간격의 범위를 넓혀 1-16K 범위면 동일 간격 가진 것으로 간주

# 4. Implement

- 실험 환경

Trace 기반 시뮬레이션, SSD 프로토타입 사용

(Free-space가 총 SSD 용량의 0.1%미만으로 떨어지면 GC 발생)

- SSD 프로토타입 스펙

: Quad Core ARM Cortex-A53, 256MiB DRAM, 256GiB Flash Array Card



# 4. Implement

- 워크로드 특징
  - FIO-H: 데이터 접근 패턴이 특정구역 집중적
  - FIO-M: 데이터 블록의 업데이트 간격이 유사함
  - Varmail: 쓰기 집중적
  - YCSB-A, F: 쓰기 집중적
  - TPC-C: 많은 Hot, Warm 블록 포함함
  - Alibaba: 짧고 집중적인 쓰기 패턴
  - Exchange: 작은 워크로드로 구성, I/O 패턴이 불규칙적

Table 3: Characteristics of each workload

Workloads	FIO-H & -M	Varmail	YCSB-A & -F	TPC-C	Alibaba	Exchange
Notation	F-H & F-M	V	Y-A & Y-F	T-C	Ali	Ex
Write size (TiB)	15.1	14.9	16.4 & 18.0	16.1	Up to 2.8	Up to 2.9
Device size (GiB)	128				40-200	40
Request distribution	Zipfian (1.0 & 0.8)	Zipfian			-	-

# 5. Experiment

# 5.1 Comparison of GC Efficiency

- SOTA와 WAF 비교

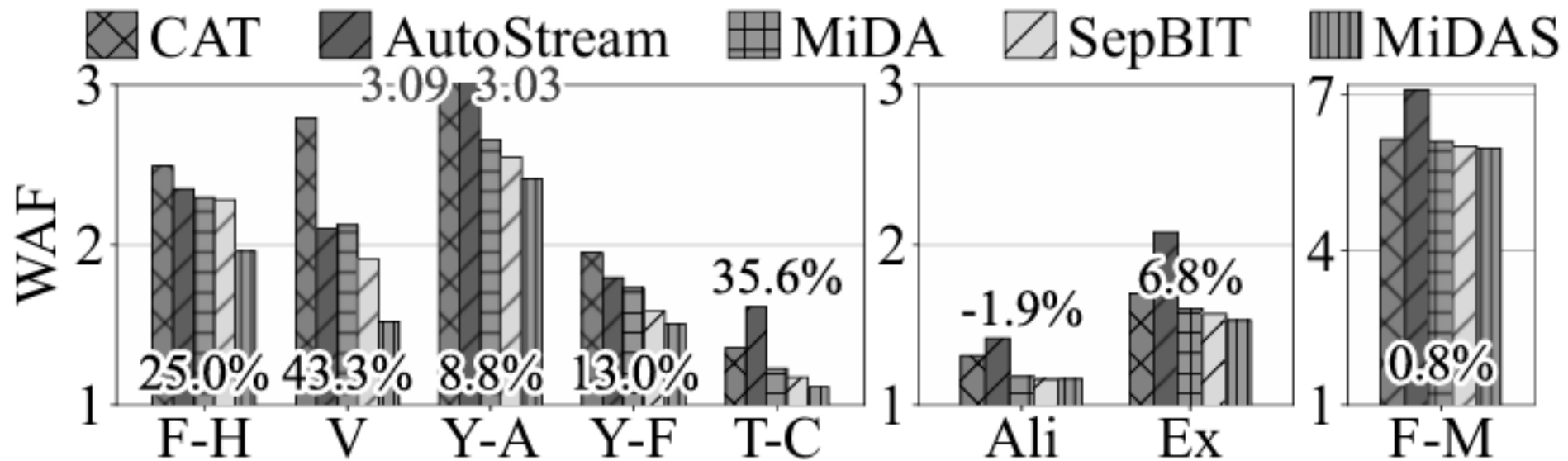


Fig. 11. Overall WAF of each technique (the numbers represent the improvement on WAF by MiDAS relative to SepBIT)

# 5.1 Comparison of GC Efficiency

- SOTA와 WAF 비교

SepBIT에 비해 개선된 WAF 양

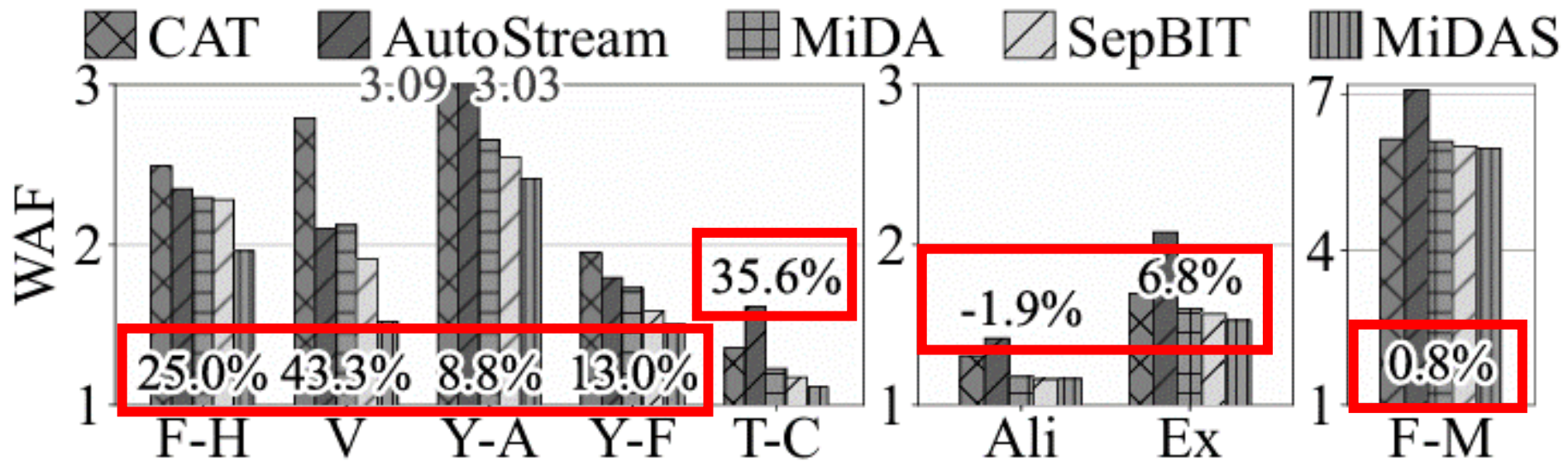


Fig. 11. Overall WAF of each technique (the numbers represent the improvement on WAF by MiDAS relative to SepBIT)

# 5.1 Comparison of GC Efficiency

- SOTA와 WAF 비교

SepBIT에 비해 개선된 WAF 양

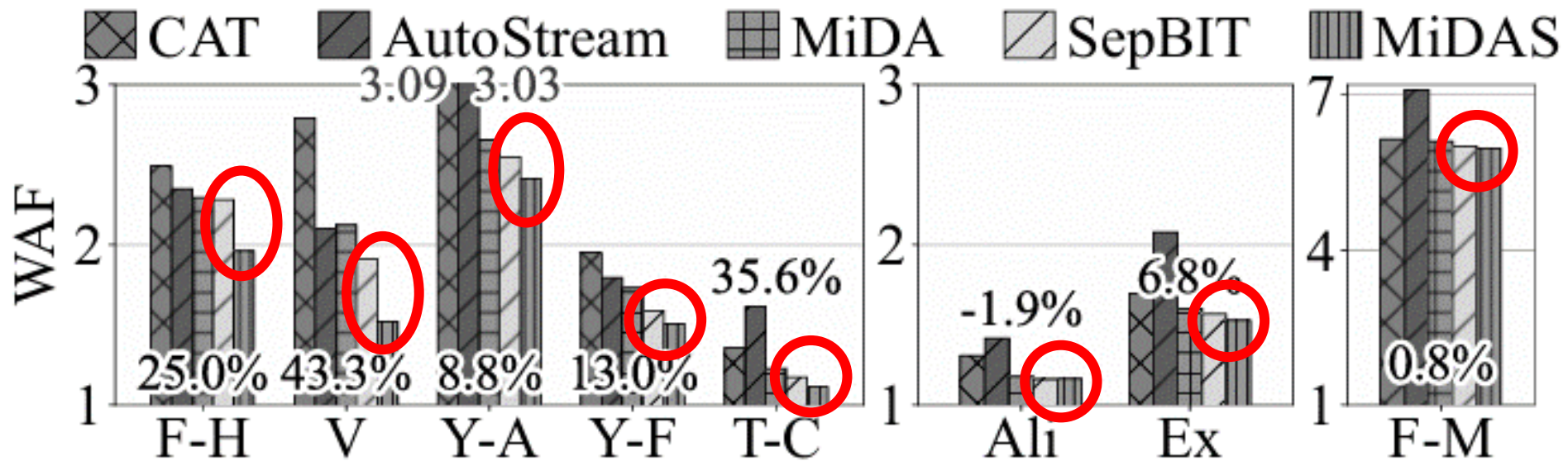


Fig. 11. Overall WAF of each technique (the numbers represent the improvement on WAF by MiDAS relative to SepBIT)



# 5.1 Comparison of GC Efficiency

- SOTA와 WAF 비교

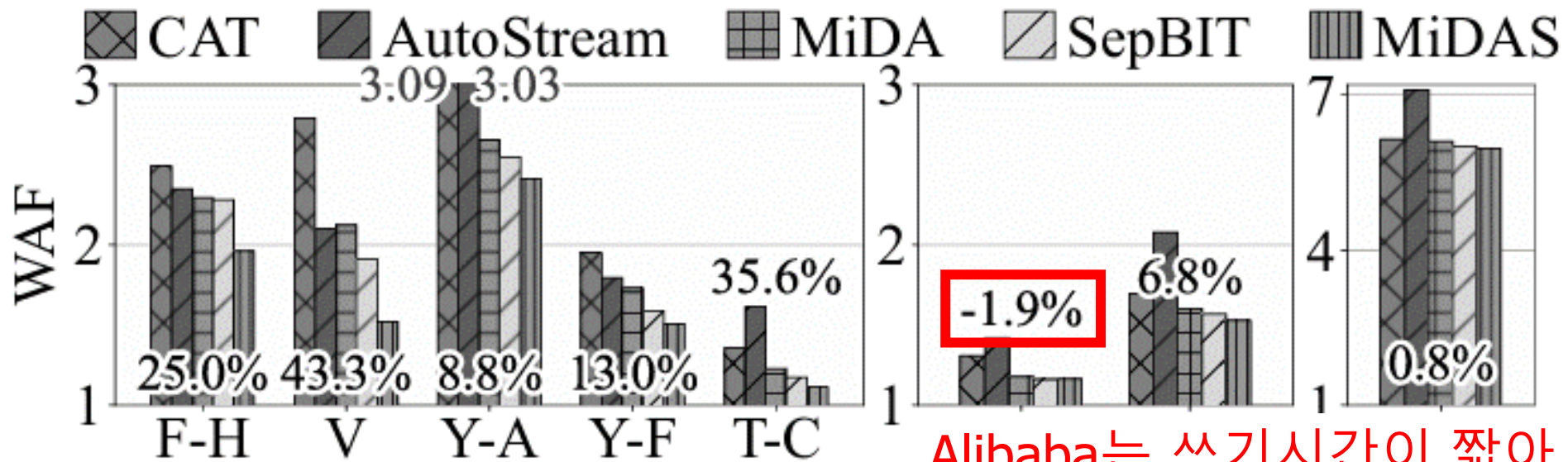


Fig. 11. Overall WAF of each technique (the numbers represent the improvement on WAF by MiDAS relative to SepBIT)

## 5.2 Impact of Each Component of MiDAS

- 원 기술 MiDA에 MiDAS만의 기술 HotSep, GrpConf, IrrHand를 차례로 적용하여 결과를 비교함

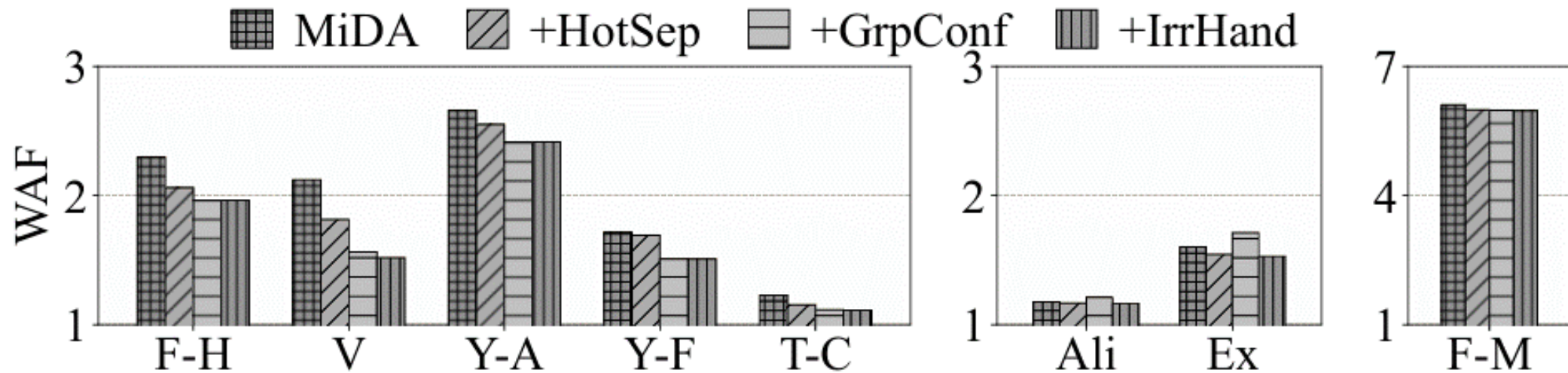


Fig. 12. Impact of individual components of MiDAS

## 5.2 Impact of Each Component of MiDAS

- MiDA에 HotSep, GrpConf, IrrHand 차례로 적용한 결과

변동성 거의 없는 워크로드

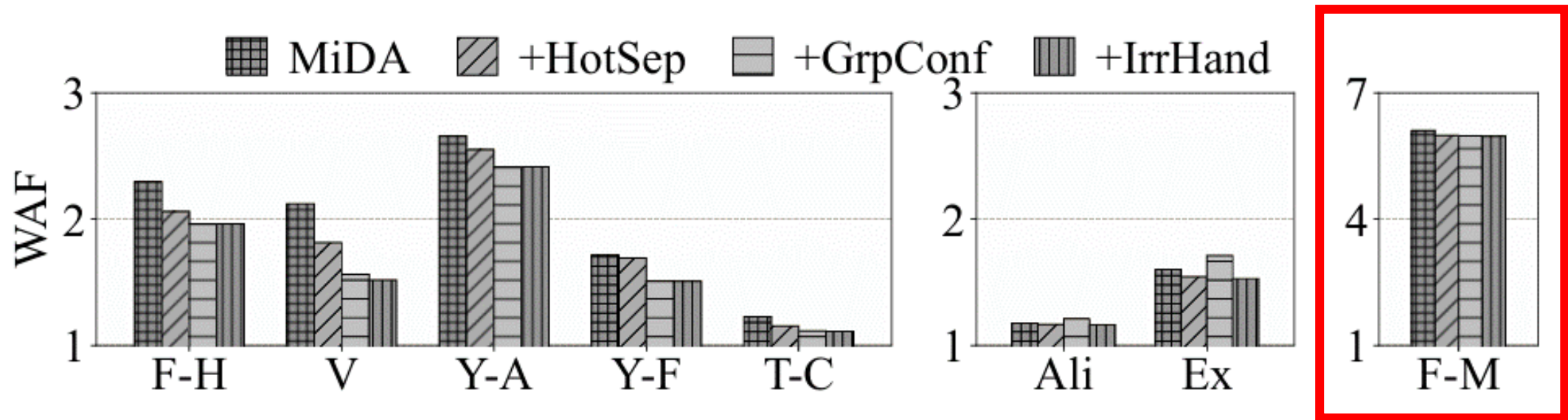


Fig. 12. Impact of individual components of MiDAS



## 5.2 Impact of Each Component of MiDAS

- MiDA에 HotSep, GrpConf, IrrHand 차례로 적용한 결과

일반적인 워크로드

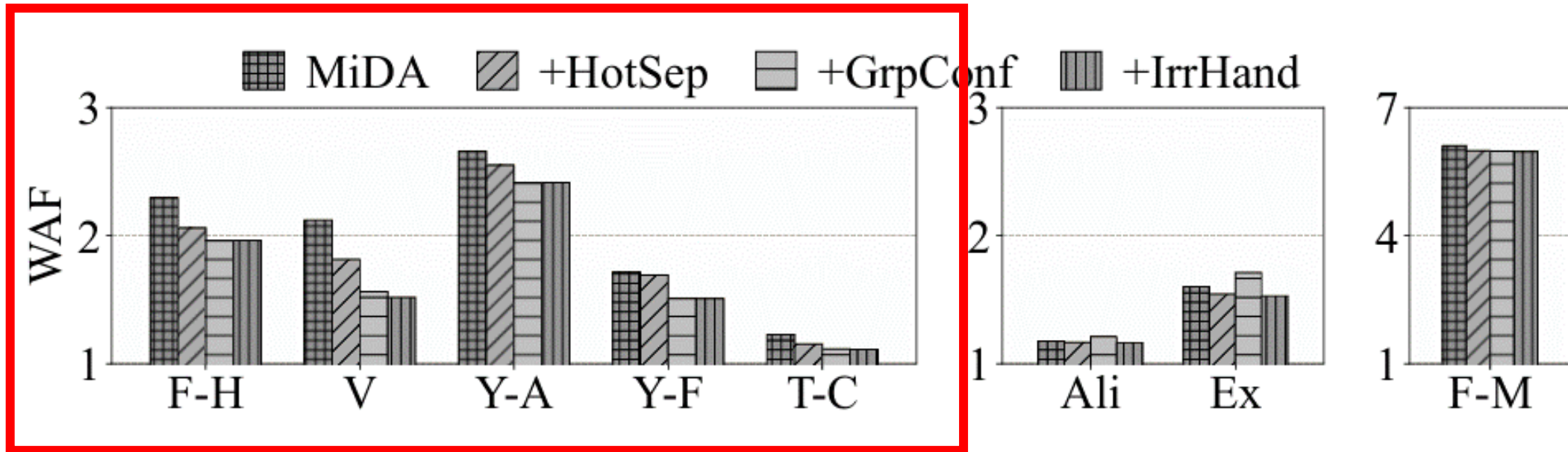


Fig. 12. Impact of individual components of MiDAS

## 5.2 Impact of Each Component of MiDAS

- MiDA에 HotSep, GrpConf, IrrHand 차례로 적용한 결과

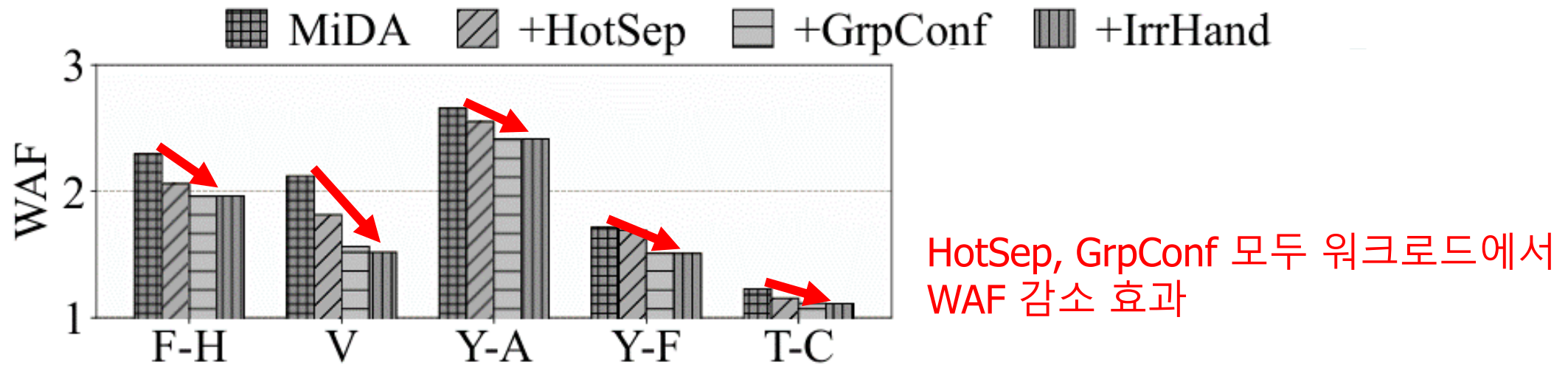
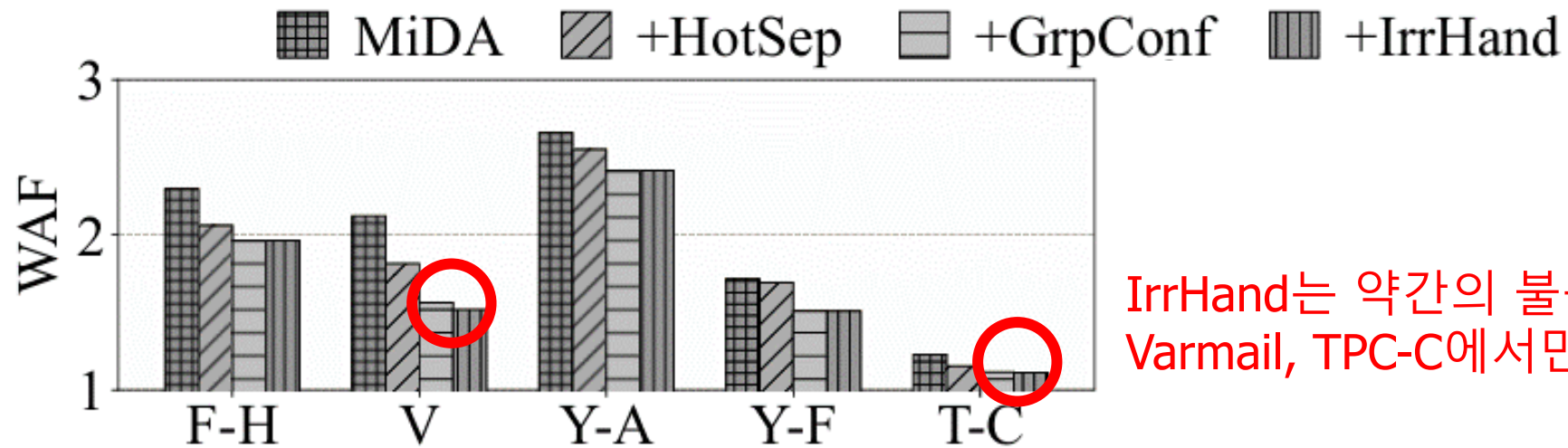


Fig. 12. Impact of individual components of MiDAS

## 5.2 Impact of Each Component of MiDAS

- MiDA에 HotSep, GrpConf, IrrHand 차례로 적용한 결과



IrrHand는 약간의 불규칙성 포함한 Varmail, TPC-C에서만 작은 효과

Fig. 12. Impact of individual components of MiDAS

## 5.2 Impact of Each Component of MiDAS

- MiDA에 HotSep, GrpConf, IrrHand 차례로 적용한 결과

불규칙 워크로드

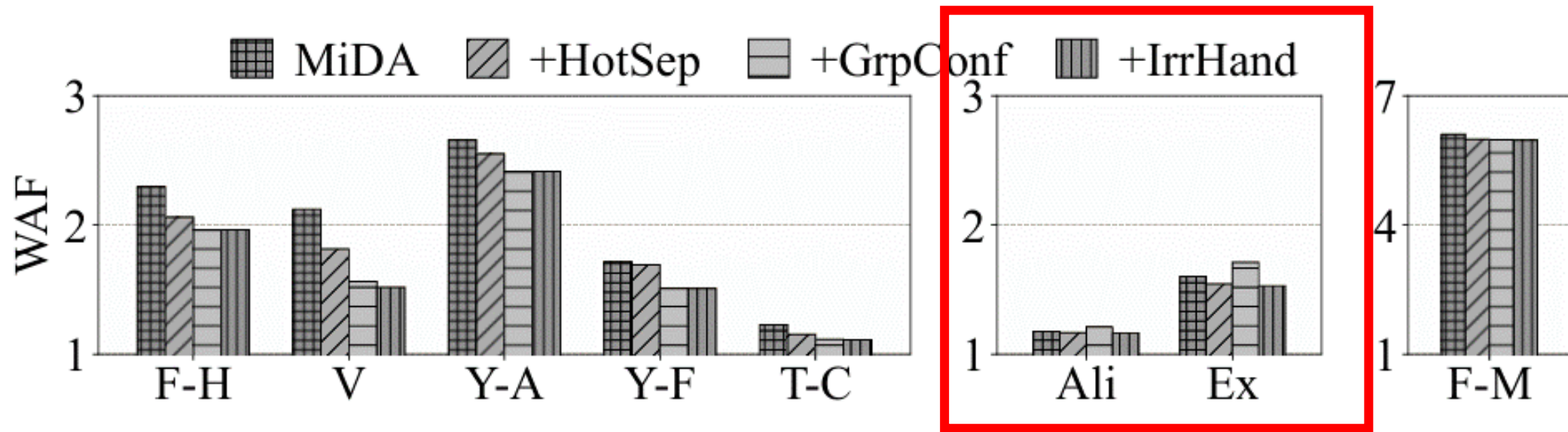


Fig. 12. Impact of individual components of MiDAS

## 5.2 Impact of Each Component of MiDAS

- MiDA에 HotSep, GrpConf, IrrHand 차례로 적용한 결과

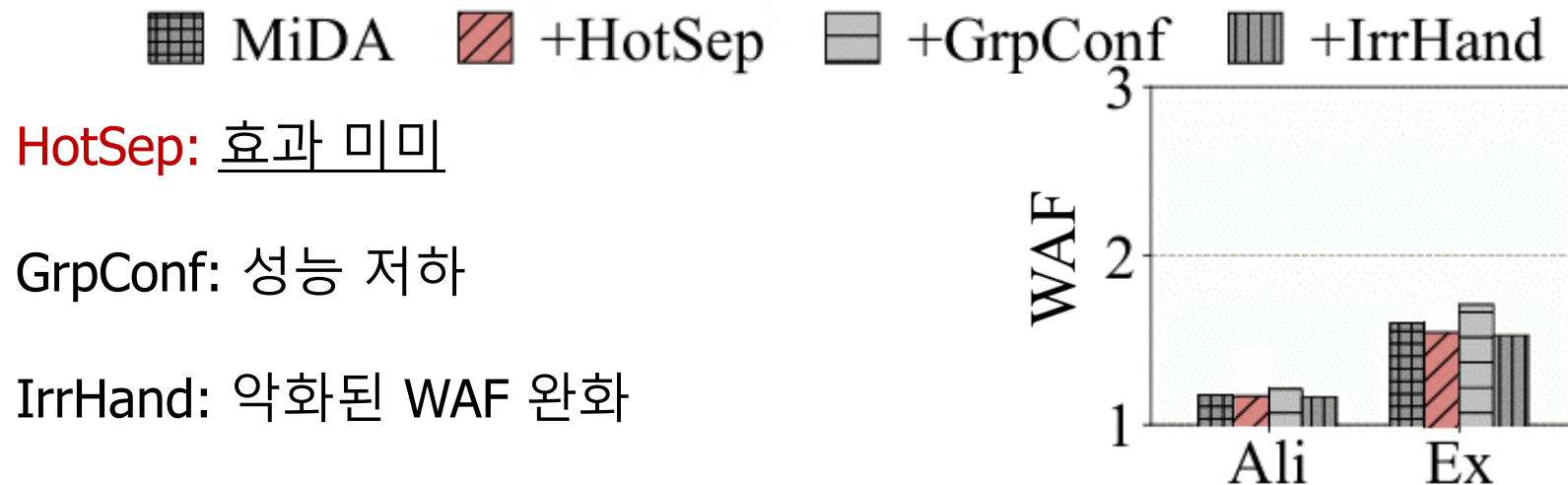


Fig. 12. Impact of individual components of MiDAS

## 5.2 Impact of Each Component of MiDAS

- MiDA에 HotSep, GrpConf, IrrHand 차례로 적용한 결과

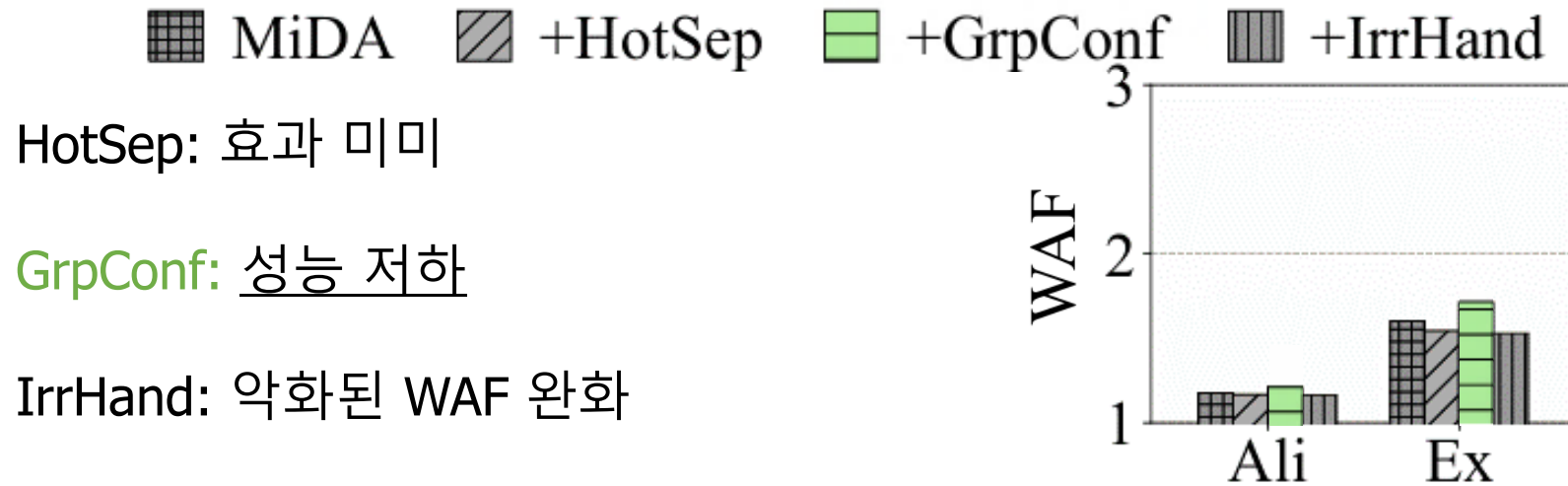


Fig. 12. Impact of individual components of MiDAS



## 5.2 Impact of Each Component of MiDAS

- UID 추정에서 Alibaba, Exchange는 큰 불규칙성 때문에 높은 오차율을 보임  
→ 잘못된 그룹 형성으로 이어짐

Table 4: Accuracy of UID in predicting transition probabilities

Workloads	F-H	V	Y-A	Y-F	T-C	Ali	Ex	F-M
Avg. error (%)	1.82	6.90	2.33	1.78	4.81	11.44	8.16	1.33
Avg. error (%) w/ +IrrHand	1.82	1.97	2.33	1.78	2.38	4.67	3.36	1.33

## 5.2 Impact of Each Component of MiDAS

- MiDA에 HotSep, GrpConf, IrrHand 차례로 적용한 결과

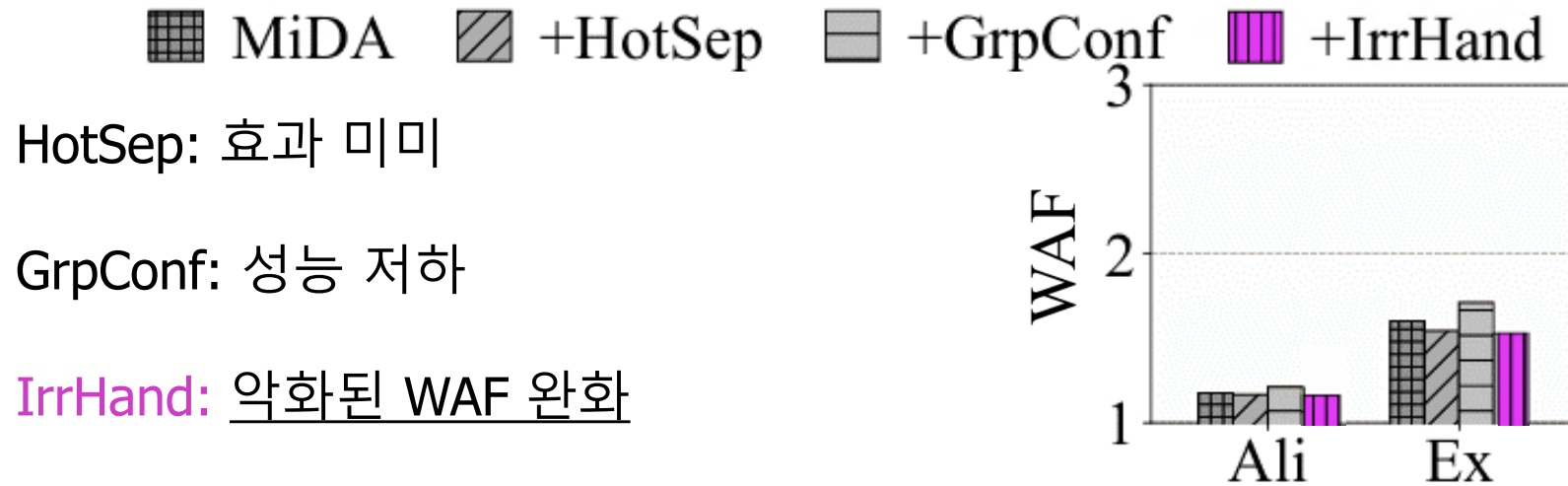


Fig. 12. Impact of individual components of MiDAS



## 5.3 Impact of epoch length

- UID와 Epoch 길이 관계  
: Epoch 길이에 따라 UID 측정 빈도, 결과 달라짐

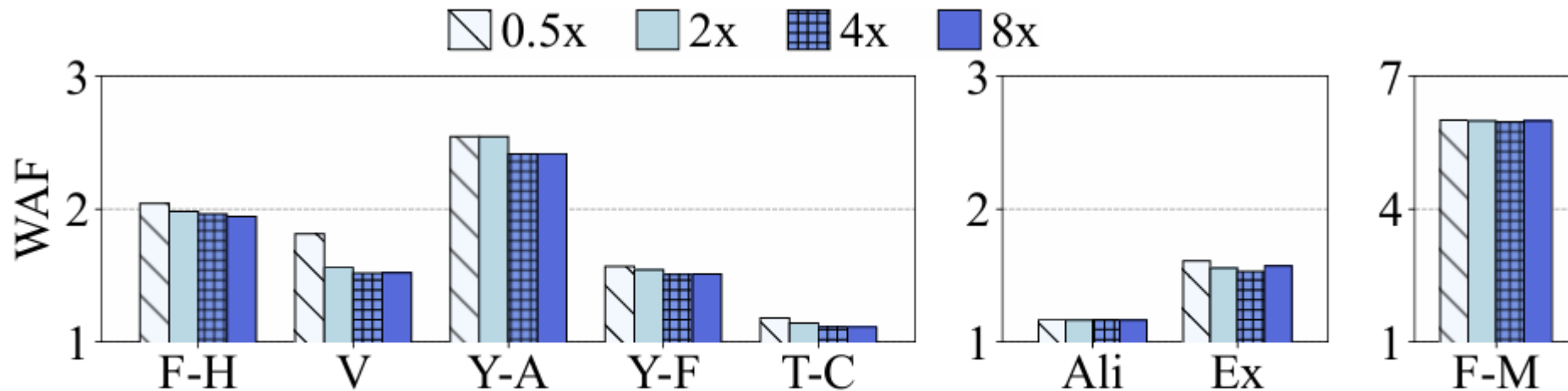


Fig. 13. Impact of length of epoch on generating UID

## 5.3 Impact of epoch length

- UID와 Epoch 길이 관계  
: Epoch 길이에 따라 UID 측정 빈도, 결과 달라짐

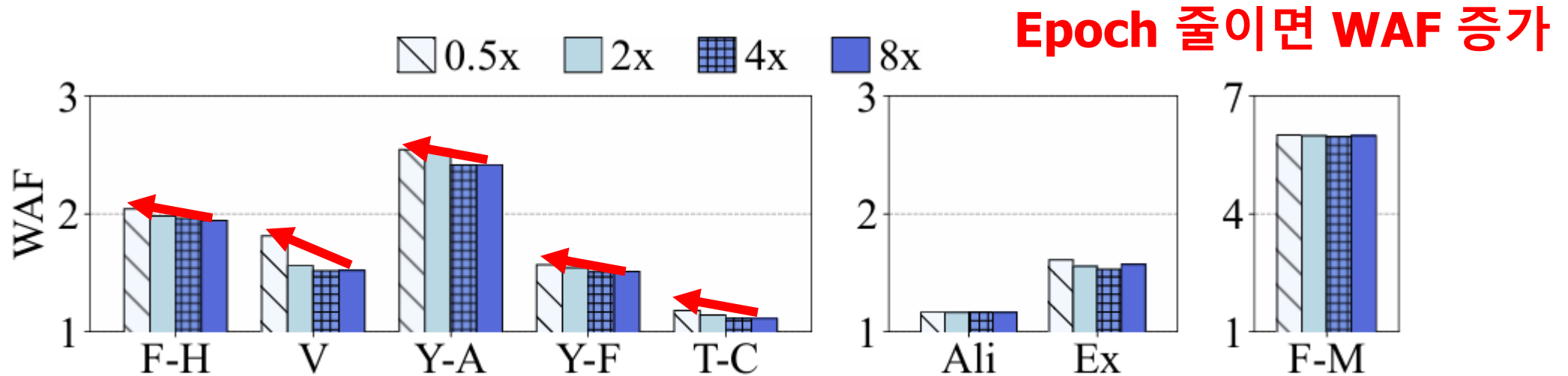
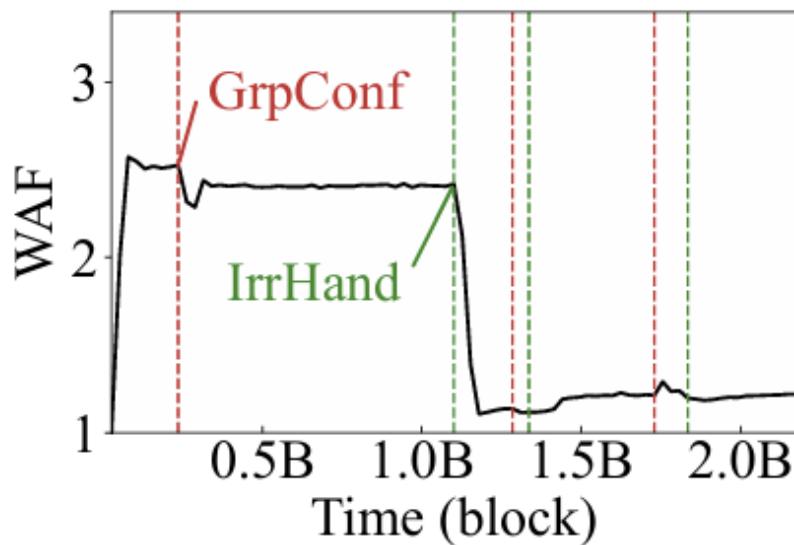


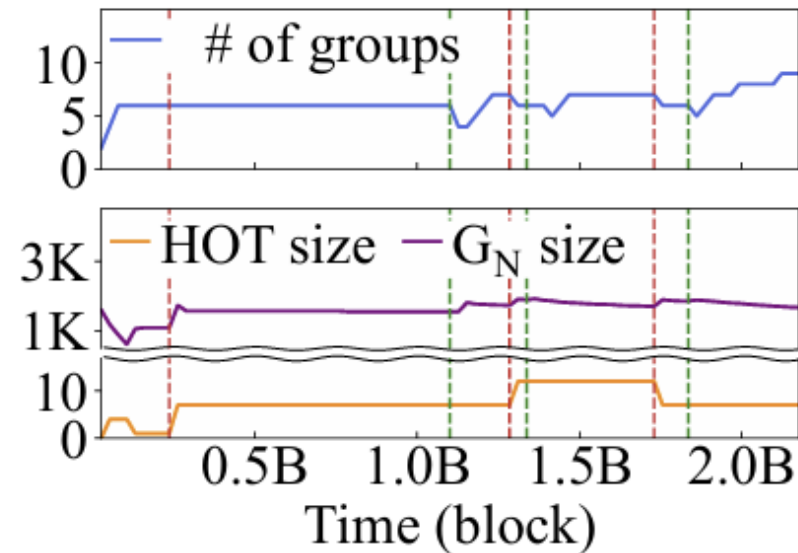
Fig. 13. Impact of length of epoch on generating UID

## 5.4 Adapting capability

- 워크로드 패턴에 따른 MiDAS 반응



(a) WAF progress

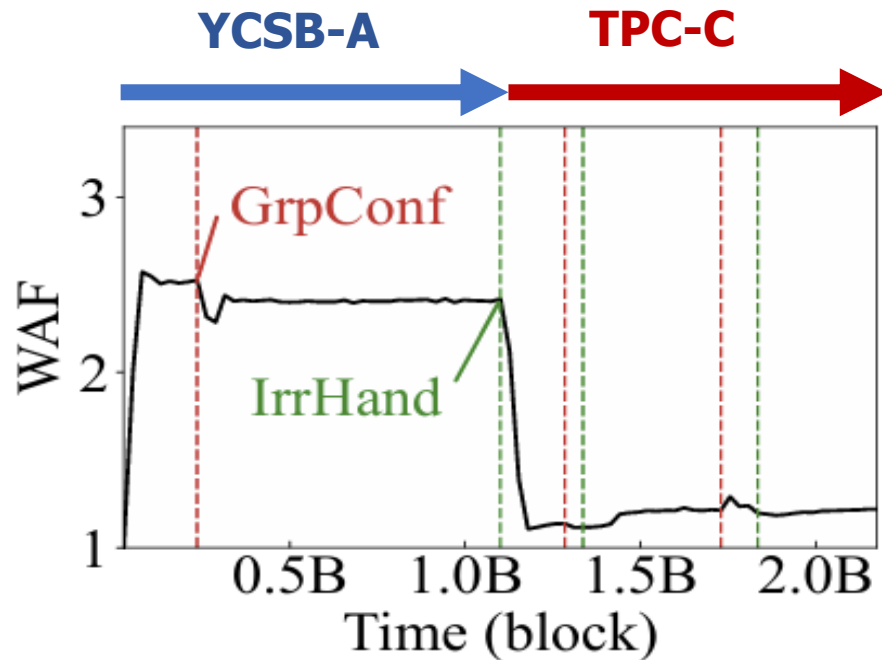


(b) # of groups and  
the size of *HOT* and  $G_N$

Fig. 14. MiDAS adapting to workload change

## 5.4 Adapting capability

- 워크로드 패턴에 따른 MiDAS 반응



(a) WAF progress

실험 환경

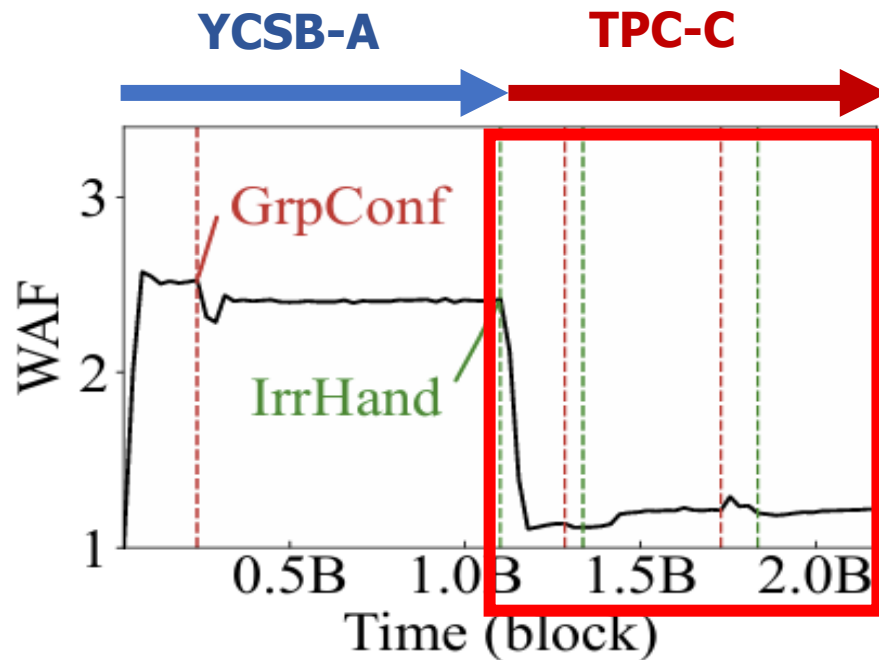
0 ~ 1.1billion(B): YCSB-A

1.1billion(B) ~ : TPC-C

Fig. 14. MiDAS adapting to workload change

## 5.4 Adapting capability

- 워크로드 패턴에 따른 MiDAS 반응



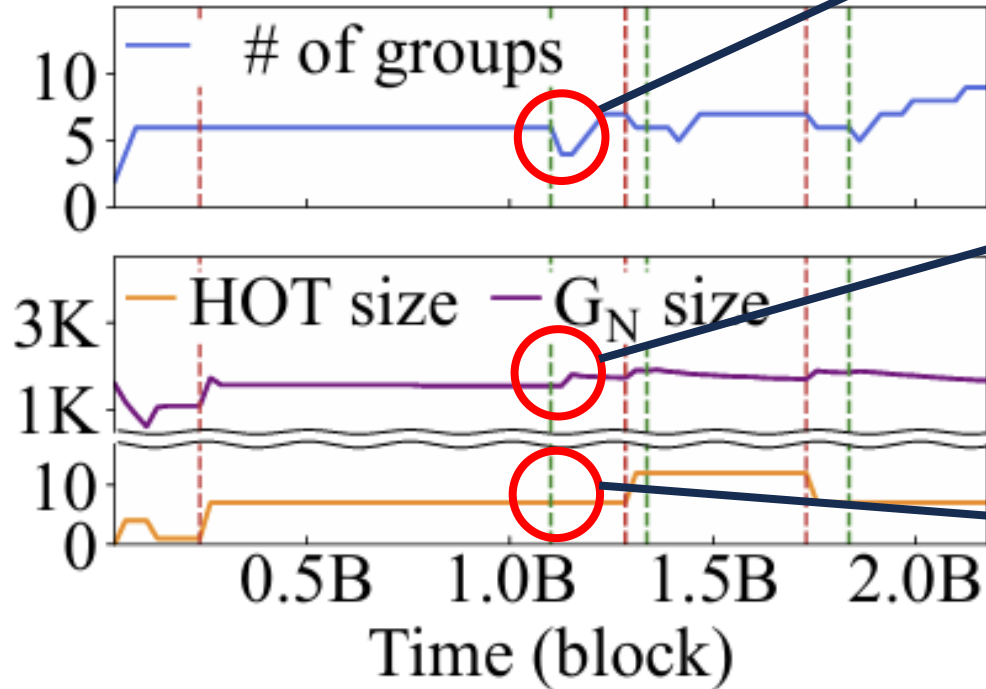
(a) WAF progress

워크로드가 TPC-C로 변경된 시점부터 극적인 패턴 변화로 **IrrHand**, **GrpConf** 호출 빈도 증가

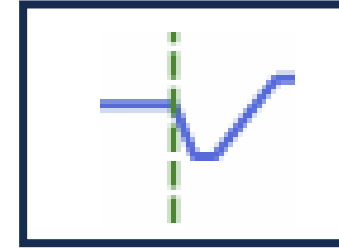
Fig. 14. MiDAS adapting to workload change

## 5.4 Adapting capability

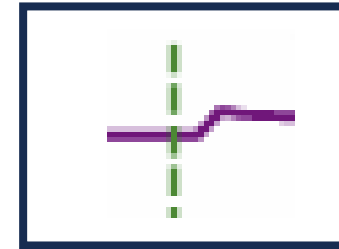
- 워크로드 변화 시점에서 그룹 수, 크기 상태



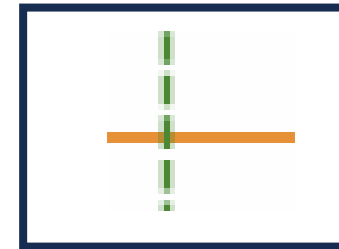
(b) # of groups and the size of *HOT* and  $G_N$



높은 오류율 가진 그룹 병합으로 인해 **그룹 수 감소**



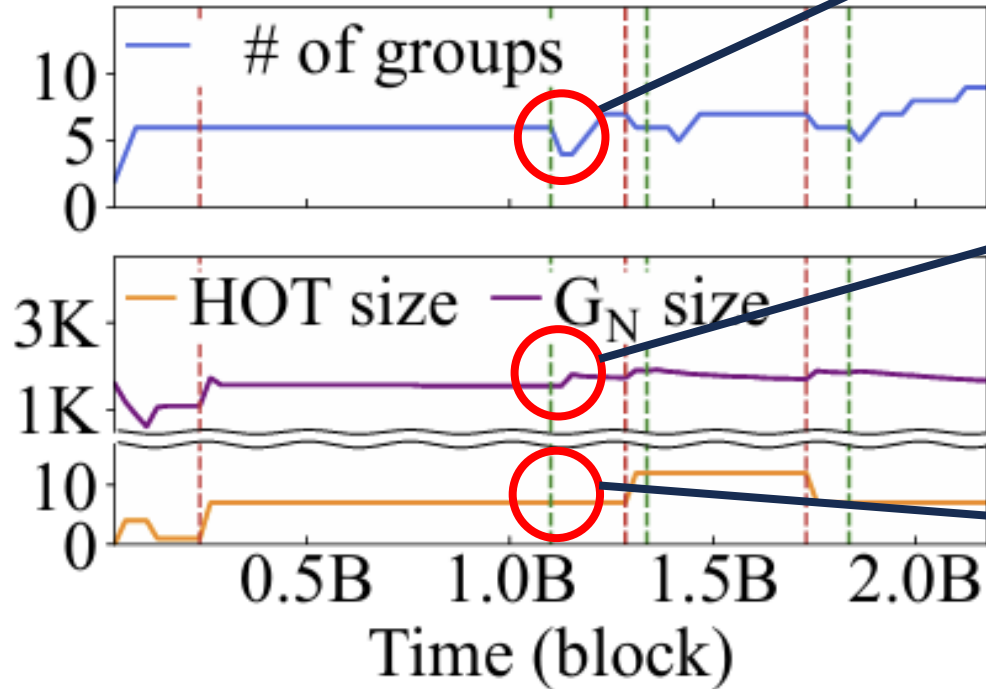
높은 오류율 가진 그룹 병합으로 인해 **그룹 크기 변동**



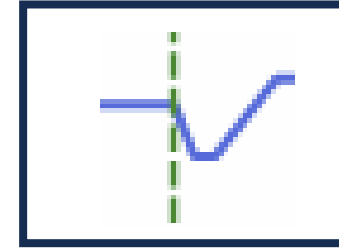
HOT 크기는 오류율이 낮아 **변하지 않음**

## 5.4 Adapting capability

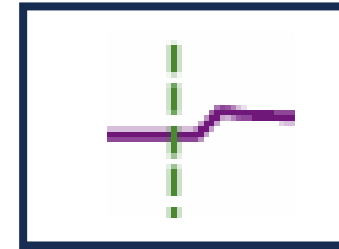
- 워크로드 변화 시점에서 그룹 수, 크기 상태



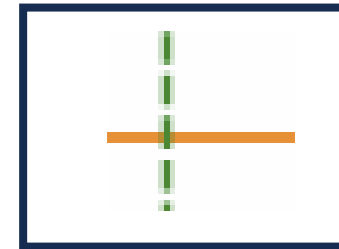
(b) # of groups and the size of  $HOT$  and  $G_N$



높은 오류율 가진 그룹 병합으로 인해 **그룹 수 감소**



높은 오류율 가진 그룹 병합으로 인해 **그룹 크기 변동**

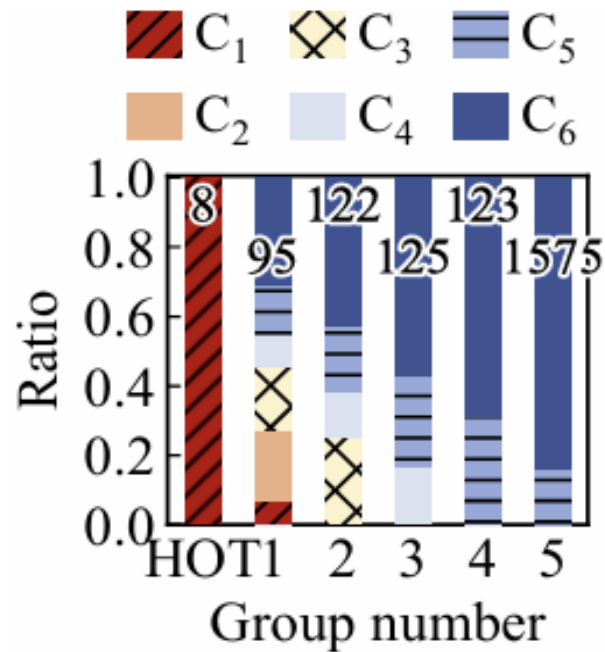


HOT 크기는 오류율이 낮아 **변하지 않음**

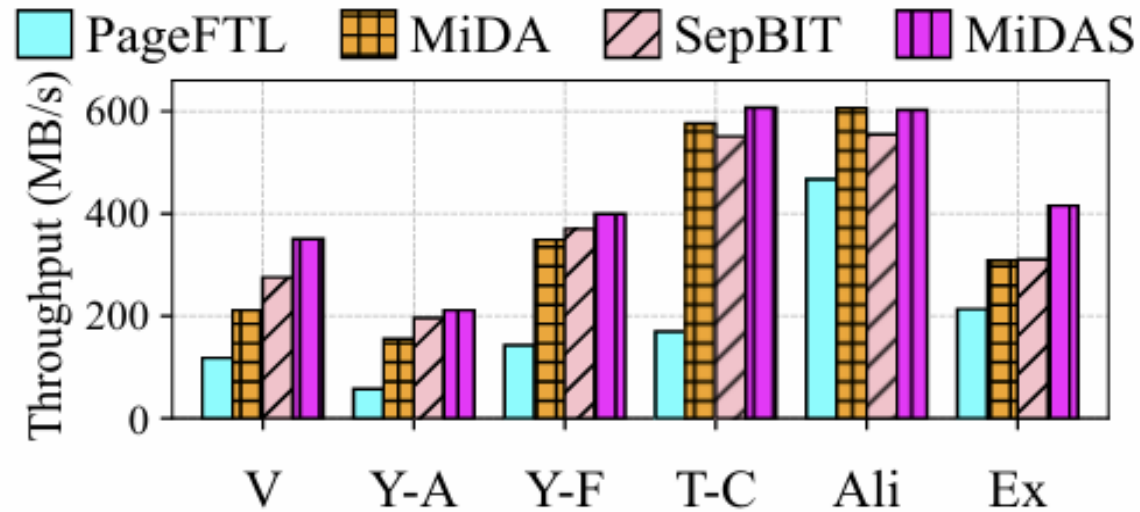
MIDAS는 워크로드의 변화에 따라 필요한 그룹 수, 크기를 효과적으로 조정하고 있음

# 5.5 Comparison with ORA

- MiDAS 적용 결과(YCSB-A)



(a)



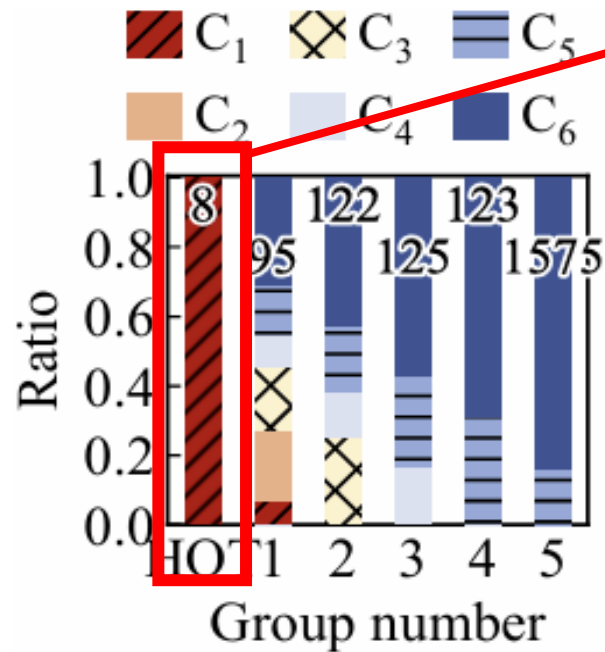
(b)

Fig. 15. (a) MiDAS block distribution, (b) Throughput result



## 5.5 Comparison with ORA

- MiDAS 적용 결과(YCSB-A)



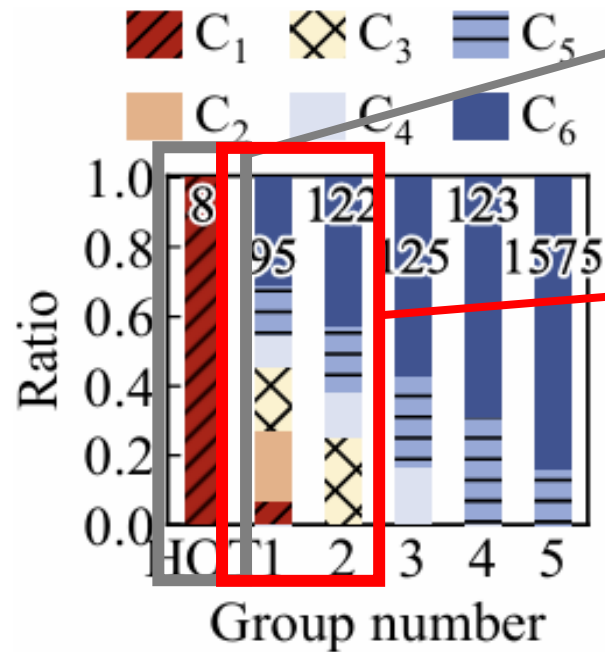
(a)

대부분의 HOT 블록 제대로 배치

Fig. 15. (a) MiDAS block distribution, (b) Throughput result

## 5.5 Comparison with ORA

- MiDAS 적용 결과(YCSB-A)



(a)

대부분의 HOT 블록 제대로 배치

그룹 이동 수로 분류하는 나이기반  
이동 정책으로 인한 Cold 분류 오류

Fig. 15. (a) MiDAS block distribution, (b) Throughput result

## 5.5 Comparison with ORA

- MiDAS 적용 결과(YCSB-A)

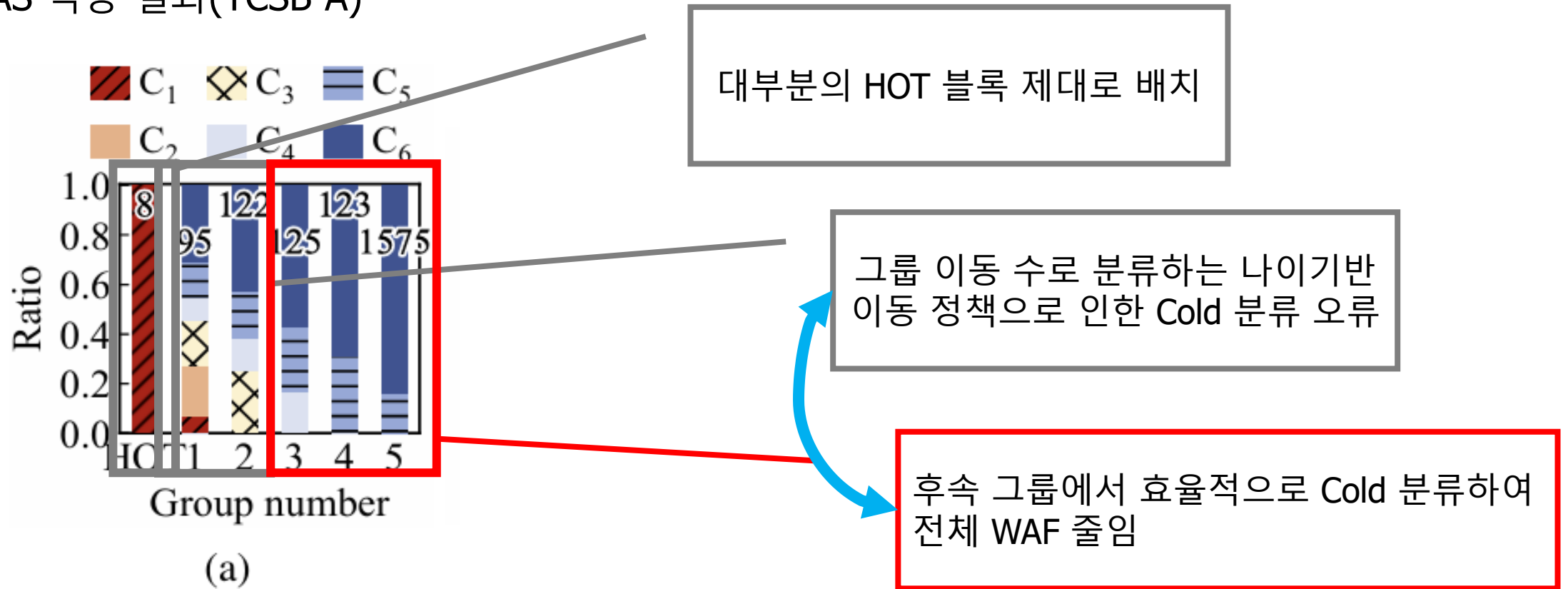
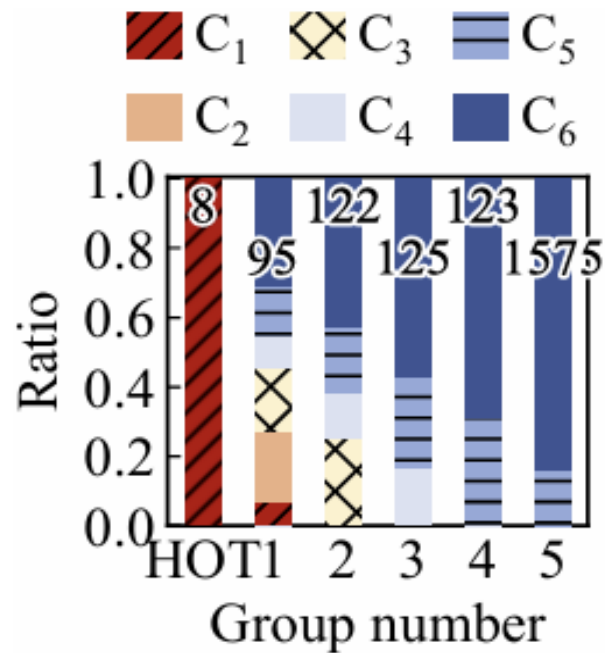


Fig. 15. (a) MiDAS block distribution, (b) Throughput result

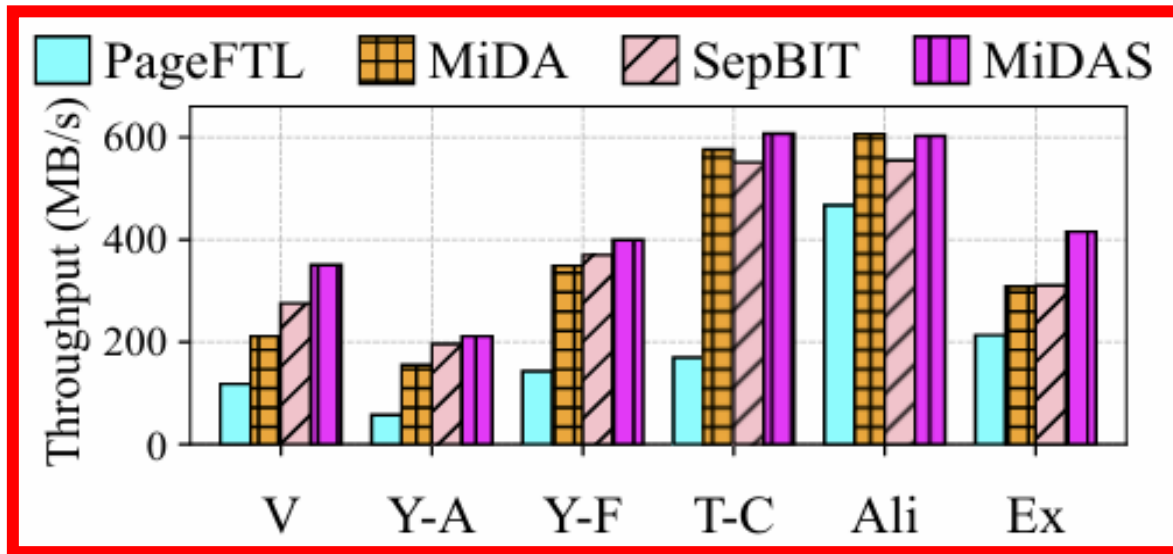
# 5.5 Comparison with ORA

- MiDAS 적용 결과(YCSB-A)



(a)

결과적으로, 다른 기술에 비해 높은 처리량을 보임



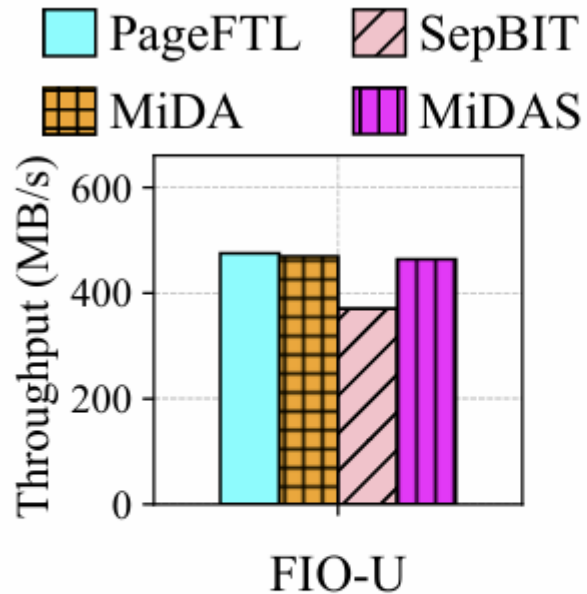
(b)

Fig. 15. (a) MiDAS block distribution, (b) Throughput result

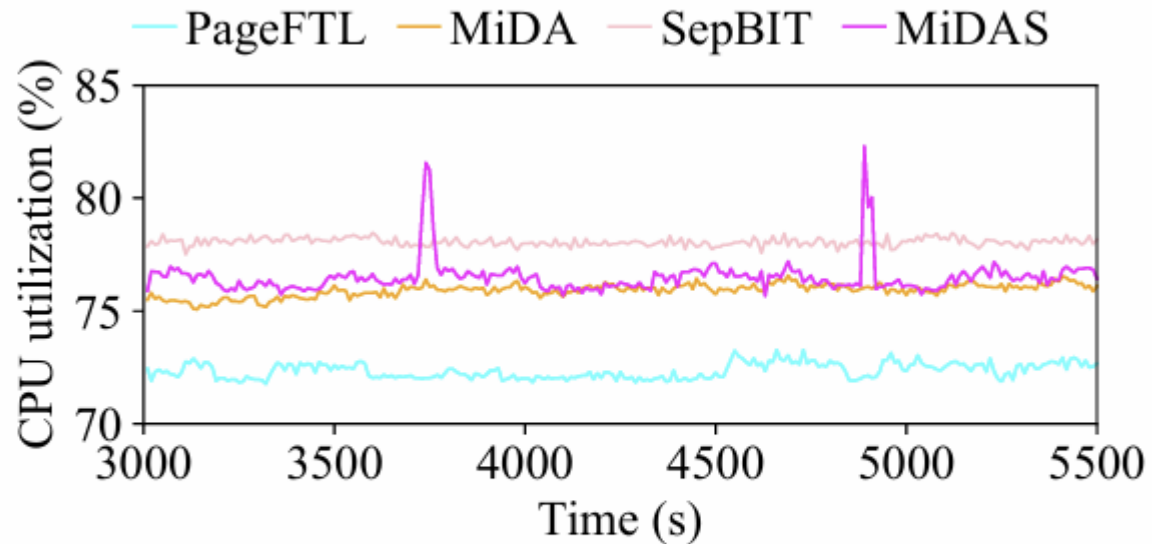
## 5.6 Experiments on SSD Prototype

- MiDAS 적용 결과(FIO-U)

실험환경: GC의 영향 배제하기 위해 FIO-U 사용하여 모든 WAF 거의 동일하도록 구성



(a) Throughput

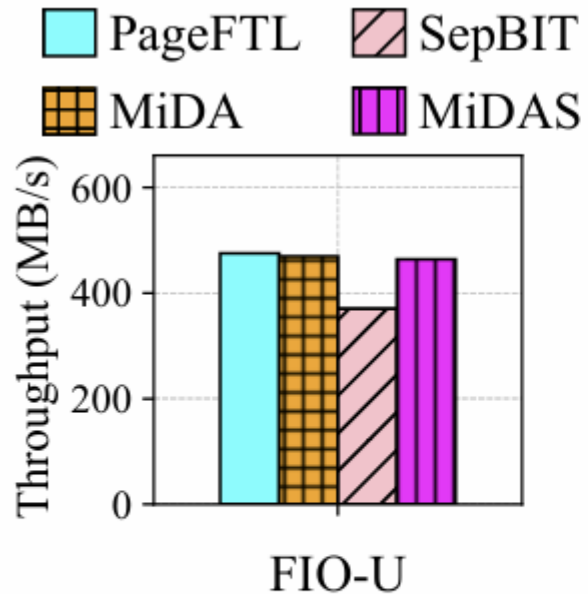


(b) CPU utilization

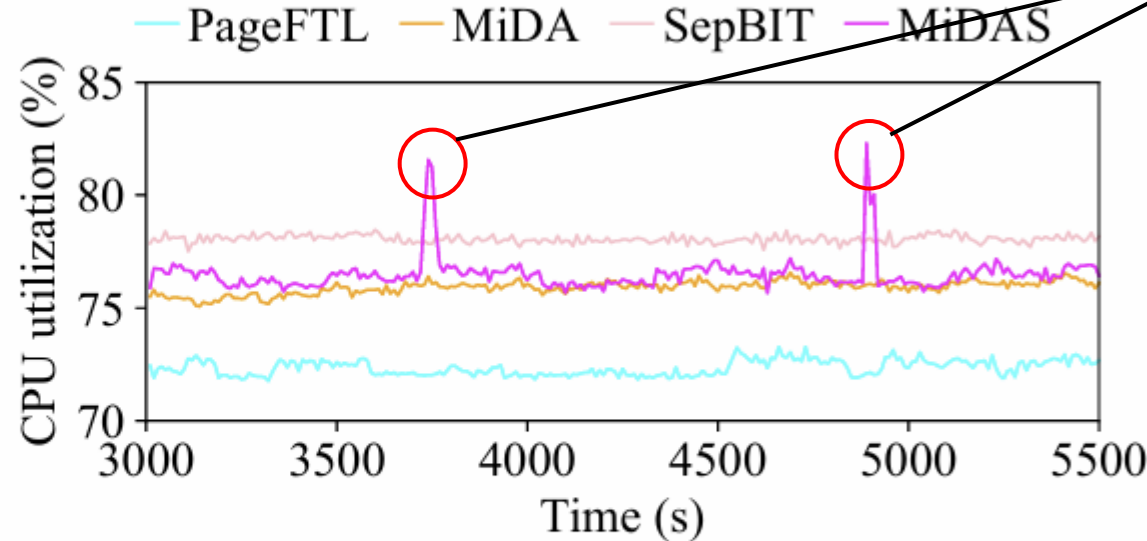
Fig. 16. Results from our SSD prototype for FIO-U

## 5.6 Experiments on SSD Prototype

### ■ MiDAS 적용 결과(FIO-U)



(a) Throughput



(b) CPU utilization

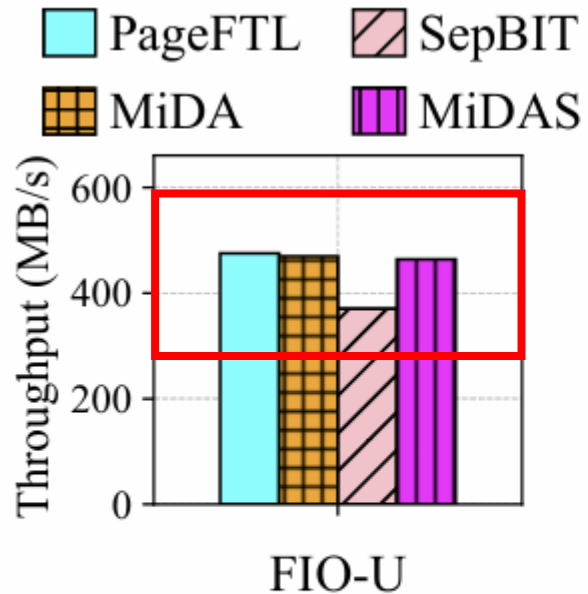
최적 그룹 구성 위한  
MCAM 실행 시점

백그라운드에서 실행되므로  
성능에 미치는 영향은 작음

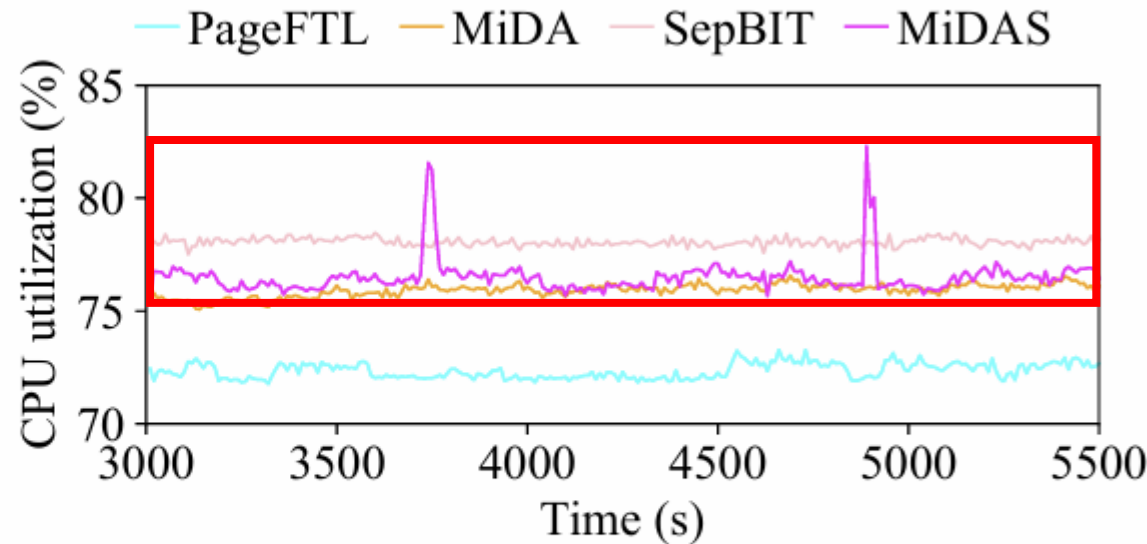
Fig. 16. Results from our SSD prototype for FIO-U

## 5.6 Experiments on SSD Prototype

- MiDAS 적용 결과(FIO-U)



(a) Throughput



(b) CPU utilization

PageFTL, MiDA보다 높은 CPU 이용률  
보이지만 처리량은 유사

Fig. 16. Results from our SSD prototype for FIO-U

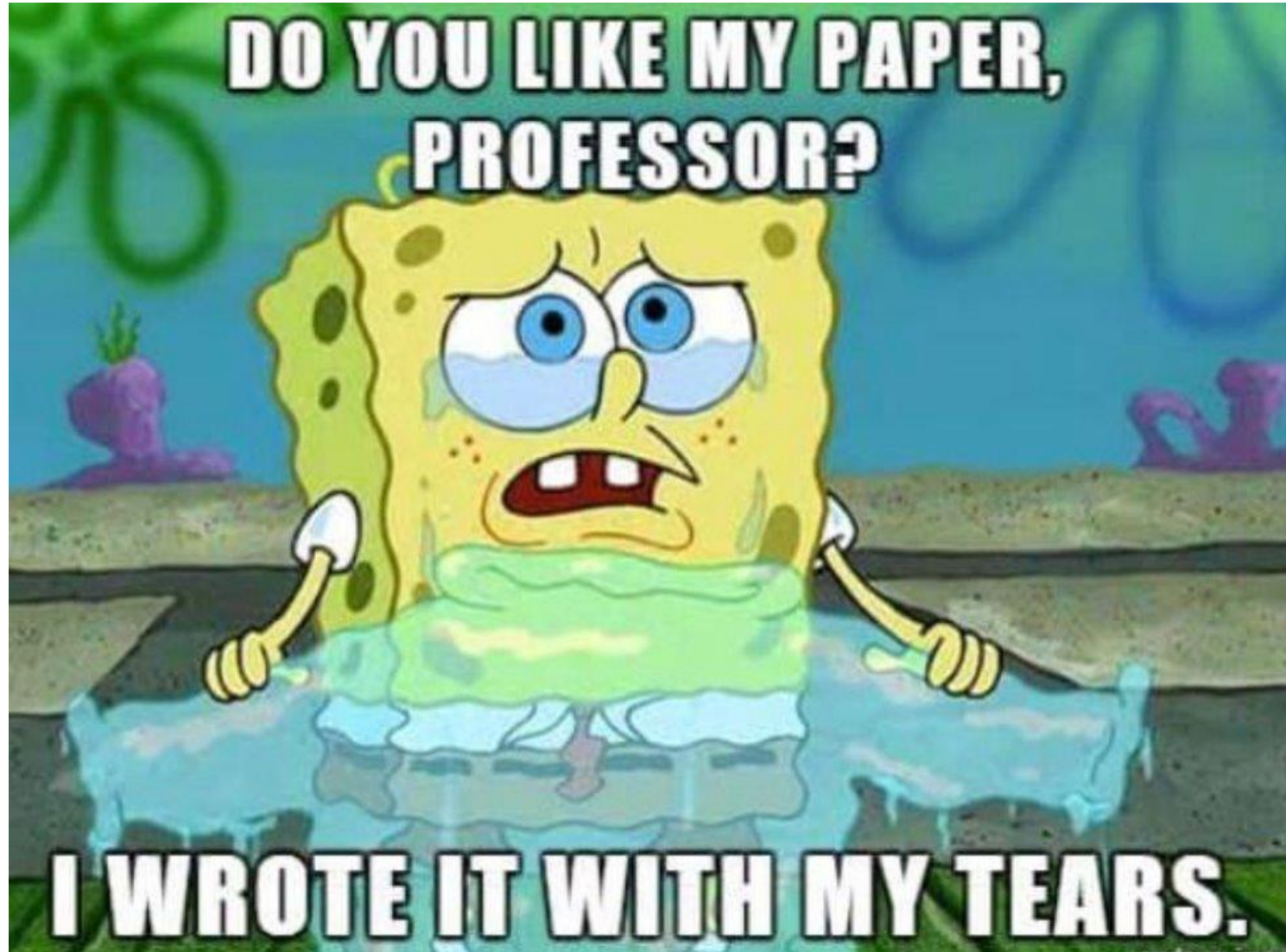
# 6. Conclusion



# 6. Conclusion

- Log Structured System에서 GC 오버헤드를 줄이기 위해 고안됨
- UID와 MCAM을 사용하여 그룹 간 데이터 이동을 최소화 한 체인 구조 사용
- Hot-Cold 데이터 분리하고, 그룹 크기 동적으로 조정하여 **전체 GC 비용 최소화**
- MiDAS는 기존 기술에 비해 **WAF는 25% 감소** 시키고, **처리량은 54% 증가**시킴

## 6. Conclusion



**Thank you**  
**Q&A**